

บทที่ 2

วรรณกรรมปรัชญา

2.1 ทฤษฎีที่เกี่ยวข้องกับการเร่งปฏิกิริยา [7]

2.1.1 นิยาม

การเร่งปฏิกิริยา (catalysis) หมายถึงการทำให้อัตราเร็วของปฏิกิริยาเพิ่มขึ้น การใช้ตัวเร่งปฏิกิริยา (catalyst) ซึ่งเป็นสารที่สามารถเพิ่มอัตราเร็วของการเกิดปฏิกิริยาโดยที่ตัวมันเองไม่ถูกใช้ไปอย่างถาวรในปฏิกิริยา บุคคลแรกที่ให้คำนิยามคำว่า catalysis คือ เจ. เบอเซลเลียส (J.J. Berzelius) ตั้งแต่ปี ค.ศ. 1836

นิยามปัจจุบันที่ครอบคลุมความหมายได้ดีขึ้น ตัวเร่งปฏิกิริยาคือสารที่เพิ่มอัตราเร็วของปฏิกิริยาเข้าสู่สมดุลเร็วขึ้น โดยที่ตัวมันเองไม่ถูกใช้อย่างถาวรในปฏิกิริยา แม้ว่าตัวเร่งปฏิกิริยาอาจมีส่วนร่วมในบางขั้นตอนของการเกิดปฏิกิริยา แต่สุดท้ายมันต้องเปลี่ยนกลับมาอยู่ในรูปเดิมหลังจากปฏิกิริยาสิ้นสุดแล้ว การทำงานของตัวเร่งปฏิกิริยามักจะเกิดขึ้นโดยการเกิดพันธะเคมีกับสารตั้งต้นอย่างน้อยหนึ่งตัว

2.1.2 ชนิดของการเร่งปฏิกิริยาและตัวเร่งปฏิกิริยา

การเร่งปฏิกิริยาสามารถแยกออกได้เป็น 2 แบบ คือ 1) การเร่งปฏิกิริยาแบบเอกพันธุ์ (homogeneous catalysis) ซึ่งตัวเร่งปฏิกิริยาอยู่ในเฟสเดียวกับสารตั้งต้นและสารผลิตภัณฑ์ ส่วนใหญ่มักเป็นสารละลายที่มีตัวเร่งปฏิกิริยาและสารตั้งต้นละลายอยู่ด้วยกัน 2) การเร่งปฏิกิริยาแบบวิวิชพันธุ์ (heterogeneous catalysis) ตัวเร่งปฏิกิริยาจะมีเฟสต่างจากสารตั้งต้นและผลิตภัณฑ์ ส่วนใหญ่ตัวเร่งปฏิกิริยาจะเป็นของแข็ง และสารตั้งต้นจะเป็นแก๊สหรือของเหลว

ตัวอย่างของสารเคมีบางตัวที่สังเคราะห์โดยใช้การเร่งปฏิกิริยาแสดงไว้ในตาราง 2.1 ซึ่งแสดงสารเคมีบางตัวที่ผลิตมากที่สุดใน 20 อันดับแรก ของประเทศสหรัฐอเมริกา ในปี ค.ศ. 1997 ทั้งจากการนับการเร่งปฏิกิริยาแบบวิวิชพันธุ์ และแบบเอกพันธุ์ ตัวเร่งปฏิกิริยาสำหรับการผลิตสารเคมีต่างๆมักจะมีส่วนประกอบของโลหะ โดยเฉพาะโลหะมีตระกูล เช่น แพลตทินัม หรือแพลตตาเดียม

ตาราง 2.1 ตัวอย่างสารเคมีซึ่งสังเคราะห์โดยใช้กระบวนการเร่งปฏิกิริยา

สารที่ต้องการสังเคราะห์	กระบวนการเร่งปฏิกิริยา
เอชลิน	ปฏิกิริยาแครกเกจ; (วิวิชพันธุ์)
โพรพีน	ปฏิกิริยาแครกเกจของสารประกอบไฮโดรคาร์บอน; (วิวิชพันธุ์)
1,2-ไดคลอโรเอธেน	ปฏิกิริยาระหว่าง C_2H_2 และ Cl_2 ; (วิวิชพันธุ์)
แอมโมเนีย	ปฏิกิริยาระหว่าง N_2 และ H_2 ; (วิวิชพันธุ์)
บูรีบ	การใช้ประโยชน์จากแอมโมเนีย; (เอกพันธุ์)
สไตรีน	การดึงไฮโดรเจนออกจากเชิลเบนซิน; (วิวิชพันธุ์)
กรดไนตริก	ปฏิกิริยาระหว่าง NH_3 และ O_2 ; (วิวิชพันธุ์)
อะคริโลไนโตรน	ปฏิกิริยาระหว่าง HCN และ C_2H_2 ; (เอกพันธุ์)

ชนิดของตัวเร่งปฏิกิริยาแบ่งตามสถานะเทียบกับสารตั้งต้นและสารผลิตภัณฑ์มี 2 ประเภทคือ

1) ตัวเร่งปฏิกิริยาเอกพันธุ์ (homogeneous catalysts) คือ ตัวเร่งปฏิกิริยาที่อยู่ในสถานะเดียวกับสารที่ทำปฏิกิริยา ไม่ว่าจะเป็นแก๊สหรือของเหลว ตัวอย่าง เช่น ตัวเร่งปฏิกิริยาที่สิ่งมีชีวิตที่เร่งด้วยเอนไซน์ และปฏิกิริยาในสารละลาย ตัวเร่งปฏิกิริยาเอกพันธุ์มักเป็นโมเลกุลที่มีตำแหน่งสำหรับเร่งปฏิกิริยาชัดเจน ทำให้ง่ายต่อการศึกษา แต่ก็มีข้อเสียคือมักสลายตัวหรือเสียสภาพในสภาวะที่ใช้ความร้อน หรือความดันสูง

2) ตัวเร่งปฏิกิริยาวิวิชพันธุ์ (heterogeneous catalysts) คือ ตัวเร่งปฏิกิริยาที่อยู่ในสถานะแตกต่างกับสารที่ทำปฏิกิริยา เช่น ตัวเร่งปฏิกิริยาเป็นของแข็ง สารตั้งต้นและสารผลิตภัณฑ์เป็นแก๊สหรือของเหลว การใช้ตัวเร่งปฏิกิริยาวิวิชพันธุ์พบได้ในอุตสาหกรรมหลายๆ อย่าง เช่น ปุ๋ย ผลิตภัณฑ์ยา เซื้อเพลิง เส้นใยสังเคราะห์ ตัวทำละลาย เป็นต้น สามารถแยกตัวเร่งปฏิกิริยาออกมานาจากสารผลิตภัณฑ์และสารตั้งต้นที่เหลือได้ง่ายกว่าระบบที่ใช้ตัวเร่งปฏิกิริยาเอกพันธุ์

ตาราง 2.2 แสดงการเปรียบเทียบสมบัติ และปัจจัยต่างๆ ของตัวเร่งปฏิกิริยาแบบเอกพันธุ์ และวิวิชพันธุ์ เนื่องจากตัวเร่งปฏิกิริยาเอกพันธุ์อยู่ในวัฏจักรเดียวกับสารตั้งต้น จึงมีข้อดีคือประสิทธิภาพการเร่งปฏิกิริยาสูง และสามารถเลือกให้เร่งปฏิกิริยาที่ต้องการได้ง่ายกว่า อีกทั้งสภาวะการทดลองที่ใช้ไม่รุนแรง สามารถศึกษาเกลากิจของปฏิกิริยาได้จำกว่าด้วยเทคนิคทางสเปกโทรสโคปีต่างๆ และไม่มีปัญหาเกี่ยวกับการแพร์ของสารตั้งต้นไปหาตัวเร่งปฏิกิริยาเนื่องจากอยู่ในวัฏจักรเดียวกัน แต่มีข้อเสียคือการแยกตัวเร่งปฏิกิริยาออกมากจากสารตั้งต้นและผลิตภัณฑ์ทำได้ยาก วิธีการที่ใช้ล้วนใหญ่คือการกลั่นหรือการสกัดด้วยตัวทำละลาย และการนำตัวเร่งปฏิกิริยากลับมาใช้ใหม่ทำได้ยากกว่า และอายุการใช้งานของตัวเร่งปฏิกิริยาเอกพันธุ์นั้นสั้นกว่า

ข้อดีของตัวเร่งปฏิกิริยาวิชพันธุ์คือ สามารถแยกสารตั้งต้นและผลิตภัณฑ์ออกมาจากตัวเร่งปฏิกิริยาได้ง่าย สามารถใช้ได้ในสภาวะที่มีอุณหภูมิสูง และ/หรือ ความดันสูง ได้ ตัวเร่งปฏิกิริยามีอายุการใช้งานที่นานนาน และอาจนำกลับมาใช้ใหม่ได้ยากกว่า

ตาราง 2.2 การเปรียบเทียบปัจจัยต่างๆในการเร่งปฏิกิริยาแบบเอกพันธุ์และวิชพันธุ์

ปัจจัยหรือตัวแปรที่สนใจ	การเร่งปฏิกิริยาแบบ เอกพันธุ์	การเร่งปฏิกิริยาแบบ วิชพันธุ์
- ความสามารถในการเร่งปฏิกิริยาเพื่อเข้าสู่สมดุล เมื่อเทียบปริมาณโลหะที่เท่ากัน	สูง	แปรค่าได้
- สัดส่วนการเลือกทำปฏิกิริยา	สูง	แปรค่าได้
- สภาวะของปฏิกิริยา	ไม่รุนแรง	รุนแรง
- อายุการใช้งานของตัวเร่งปฏิกิริยา	แปรค่าได้	นาน
- ปัญหาจากการแพร่	ไม่มี	อาจมีผล
- ความไวของตัวเร่งปฏิกิริยาต่อการเกิดพอยซ์ชัน	ต่ำ	สูง
- การนำตัวเร่งปฏิกิริยากลับมาใช้ใหม่	แพง	ทำไม่ได้
- การปรับสมบัติเชิงโมเลกุลของตัวเร่งปฏิกิริยาโดยการเปลี่ยนอะตอนที่เป็นองค์ประกอบ	อาจทำได้	ทำไม่ได้

2.1.3 เทอมที่เกี่ยวข้องกับการเร่งปฏิกิริยา

(1) ประสิทธิภาพของตัวเร่งปฏิกิริยา (catalytic efficiency) จากการเปลี่ยนสารตั้งต้น A ไปเป็น B โดยใช้ตัวเร่งปฏิกิริยา Q ด้วยอัตราเร็ว V ดังสมการ 2.1

$$A \xrightarrow{\text{Q}} B ; \quad V = \frac{d[B]}{dt} \quad (2.1)$$

ประสิทธิภาพของตัวเร่งปฏิกิริยาทำได้โดยตรงจากค่าความถี่ผันเวียน (turnover frequency) ซึ่งแสดงโดยค่าคงที่การเกิดปฏิกิริยา ณ ตำแหน่งกัมมันต์ หรือเลขผันเวียน (turnover number) ซึ่งหมายถึงจำนวนวัฏจักรของการเร่งปฏิกิริยาที่เกิดขึ้นต่อปริมาณตัวเร่งปฏิกิริยาที่ใช้ในการเร่งปฏิกิริยาต่อหน่วยเวลา กล่าวได้อีกแบบคือ อัตราการเร่งปฏิกิริยาต่อปริมาณตัวเร่งปฏิกิริยา

ค่าความถี่ผันวีyan แทนด้วย N ซึ่งหาได้จากอัตราเริวของปฏิกิริยา (V) หารด้วยความเข้มข้นของสาร C_A ซึ่งสามารถแทนด้วยพื้นที่กัมมันต์ในกรณีของตัวเร่งปฏิกิริยาแบบวิธีพันธุ์ ดังสมการ 2.2

$$N = \frac{V}{C_A} \quad (2.2)$$

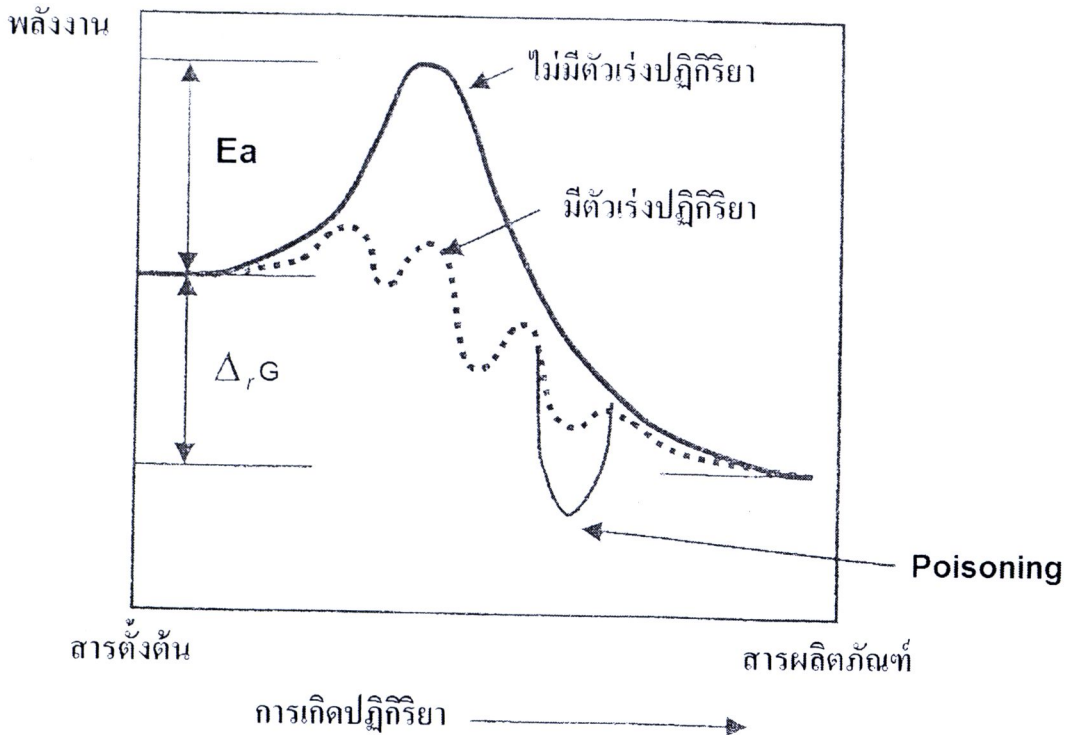
(2) วัฏจักรของการเร่งปฏิกิริยา (catalytic cycle) สิ่งที่สำคัญของการเร่งปฏิกิริยาคือ การที่สารตั้งต้นถูกใช้ไปทำให้เกิดเป็นผลิตภัณฑ์และได้ตัวเร่งปฏิกิริยาที่นำกลับมาใช้ใหม่ได้ วัฏจักรของการเร่งปฏิกิริยาจะประกอบด้วยกลไกปฏิกิริยา (reaction mechanism) ที่แสดงให้เห็นการเปลี่ยนแปลงสารตั้งต้นไปเป็นสารน้อยยั่งตัว (intermediates) และสารผลิตภัณฑ์ โดยอาจมีการเปลี่ยนแปลงของตัวเร่งปฏิกิริยาด้วย แต่เมื่อวัฏจักรของปฏิกิริยาครอบแล้วจะได้ตัวเร่งปฏิกิริยากลับคืนมา โดยทั่วไปเราสามารถหากฎอัตราของปฏิกิริยารวมได้จากการแยกของปฏิกิริยา สัดส่วนการเลือกทำปฏิกิริยาเป็นฟังก์ชันกับความเข้มข้น

ข้อมูลสำหรับการเขียนวัฏจักรของการเร่งปฏิกิริยาอาจได้มาจากการศึกษาสมดุล การหากฎอัตรา ซึ่งมักเป็นฟังก์ชันกับความเข้มข้นและการวิเคราะห์ลักษณะของสารประกอบต่างๆ ที่เกี่ยวข้อง รวมทั้งตัวเร่งปฏิกิริยา การศึกษาวัฏจักรการเร่งปฏิกิริยาจะช่วยให้เข้าใจการเปลี่ยนแปลงที่เกิดขึ้นได้ ซึ่งอาจช่วยให้ทำนายหรือปรับปรุงการเกิดปฏิกิริยาให้มีประสิทธิภาพดีขึ้น ตาราง 2.3 แสดงการเปรียบเทียบการศึกษากลไกของการเร่งปฏิกิริยาทั้งแบบเอกสารพันธุ์และวิธีพันธุ์ซึ่งมีจุดประสงค์เดียวกันคือการศึกษาและทำความเข้าใจกลไกของการเร่งปฏิกิริยา

ตาราง 2.3 เปรียบเทียบการศึกษาการเร่งปฏิกิริยาแบบเอกสารพันธุ์และวิธีพันธุ์

การศึกษา	ตัวเร่งปฏิกิริยาเอกสารพันธุ์	ตัวเร่งปฏิกิริยาวิธีพันธุ์
การหากกลไกปฏิกิริยา	หาจากสมดุลของการเกิดสารประกอบเชิงซ้อนของโลหะเตอริโอลเคมี ผลจากตัวทำละลายและชนิดของลิเกนด์	หาจากไอโซเทอร์มของการดูดซับบนโลหะ
ปัจจัยที่มีผลต่อกลไกของปฏิกิริยารวม		ผลจากตัวรองรับ การเกิดพอยชัน และการศึกษาโดยใช้ไอโซโทป

(3) การเปลี่ยนแปลงพลังงาน (energetics) ตัวเร่งปฏิกิริยาสามารถเพิ่มความเร็วของปฏิกิริยาได้โดยการเปลี่ยนวิถีของปฏิกิริยา โดยวิถีใหม่มีค่าพลังงานการก่อการมันต์ของกิบส์ (Gibbs energy of activation, ΔG) ต่ำกว่าวิถีเดิม ดังรูป 2.1



รูป 2.1 เปรียบเทียบผลลัพธ์ของปฏิกิริยาที่ไม่มีตัวเร่งปฏิกิริยาซึ่งมีผลลัพธ์ก่อภัยมันต์ของกิบส์สูง และปฏิกิริยาที่มีตัวเร่งปฏิกิริยาซึ่งมีผลลัพธ์ก่อภัยมันต์ของกิบส์ต่ำ แต่ผลลัพธ์โดยรวมของปฏิกิริยาทั้งสองเท่ากัน

จะเห็นได้ว่าระดับผลลัพธ์ของวิธีใหม่ไม่สูง แต่ต้องไม่ต่ำกว่าค่าผลลัพธ์ของสารผลิตภัณฑ์ เพราะสารผลิตภัณฑ์ต้องมีเสถียรภาพในเชิงเทอร์โมไดนามิกส์ หากวิธีใหม่ทำให้เกิดสารที่มีผลลัพธ์ต่ำกว่าสารผลิตภัณฑ์ เรียกว่า พอยชันนิ่ง (poisoning) จะทำให้วัฏจักรของปฏิกิริยาถูกทำลายและไม่เกิดสารผลิตภัณฑ์ที่ต้องการ พอยชันนิ่งเป็นสาเหตุหนึ่งของการเสื่อมสภาพของตัวเร่งปฏิกิริยา สิ่งที่สำคัญอื่นๆ นอกเหนือจากความสามารถในการเพิ่มอัตราเร็วของปฏิกิริยา ได้แก่ สมบัติของตัวเร่งปฏิกิริยาในการลดปฏิกิริยาข้างเคียง และอายุการใช้งานที่ยาวนาน

(4) กิมมันตภาพ (activity) ของตัวเร่งปฏิกิริยาคือ ความสามารถในการเร่งปฏิกิริยาเพื่อเข้าสู่สมดุล เป็นการวัดเชิงปริมาณว่าตัวเร่งปฏิกิริยาทำงานได้มากเพียงใดในการเปลี่ยนสารตั้งต้นไปเป็นสารผลิตภัณฑ์ ในเชิงอุตสาหกรรมมักจะใช้เทอม space-time yield (STY) หมายถึงปริมาณของผลิตภัณฑ์ที่เกิดขึ้นต่อหน่วยเวลาต่อหน่วยปริมาตรของเครื่องปฏิกรณ์ อัตราเร็วของปฏิกิริยาจะขึ้นอยู่กับตัวแปรต่างๆ หลายตัว เช่น ความดัน อุณหภูมิ ความเข้มข้นของสารตั้งต้นและสารผลิตภัณฑ์

การหาเปอร์เซ็นต์กัมมันตภาพอย่างง่ายทำได้โดยการหาระบารตั้งต้นที่ถูกใช้ไป โดยหาผลต่างของปริมาณสารตั้งต้นที่เข้าและออกจากระบบ (input reactant – output reactant) เพื่อยกับปริมาณสารตั้งต้นที่ใส่เข้าไป ดังสมการ 2.3

$$\% \text{ Activity} = \frac{(\text{Input}_{\text{reactant}} - \text{Output}_{\text{reactant}})}{\text{Input}_{\text{reactant}}} \quad (2.3)$$

(5) สัดส่วนการเลือกทำปฏิกิริยา (selectivity) คือความสามารถในการเลือกเร่งปฏิกิริยาที่ต้องการโดยเกิดปฏิกิริยาข้างเคียง (side reactions) น้อยที่สุด โดยคิดเป็นเปอร์เซ็นต์ของปริมาณสารตั้งต้นที่ใช้ทำให้เกิดผลิตภัณฑ์ที่ต้องการ สัดส่วนการเลือกทำปฏิกิริยาจะขึ้นกับ ตัวเร่งปฏิกิริยา ความดัน อุณหภูมิ องค์ประกอบของสารแต่ละตัว และการเปลี่ยนแปลงในปฏิกิริยา ซึ่งการรายงานสัดส่วนการเลือกทำปฏิกิริยานั้นต้องบอกเงื่อนไขที่เกี่ยวข้องด้วย สมการ 2.4 แสดงการทำสัดส่วนการเลือกทำปฏิกิริยา จากสัดส่วนของปฏิกิริยาที่ต้องการให้เกิด (desired reaction) หารด้วยปฏิกิริยาที่สามารถเกิดขึ้นได้ทั้งหมด (all reaction)

$$\% \text{ Selectivity} = \frac{(\text{Desired reaction}) \times 100}{\text{All reaction}} \quad (2.4)$$

(6) อายุการใช้งาน (lifetime) คืออายุการใช้งานของตัวเร่งปฏิกิริยา ตัวเร่งปฏิกิริยาที่ต้องมีอายุการใช้งานที่ยาวนาน สามารถใช้ในการเร่งวัสดุกรของปฏิกิริยาได้หลายรอบโดยไม่มีการเสื่อมสภาพ การเลือกตัวเร่งปฏิกิริยานั้นต้องคำนึงถึงเสถียรภาพของมันด้วย เนื่องจากตัวเร่งปฏิกิริยาอาจเร่งปฏิกิริยาได้หลายปฏิกิริยาและปฏิกิริยาข้างเคียงบางปฏิกิริยาอาจทำให้ตัวเร่งปฏิกิริยาเปลี่ยนไปอยู่ในรูปใหม่สามารถเร่งปฏิกิริยาได้อีกด้วย หรือเสื่อมสภาพนั่นเอง

(7) การทำให้คืนสภาพ (regeneration) คือการนำตัวเร่งปฏิกิริยาที่เสื่อมสภาพแล้วหลังจากการใช้งาน มาทำให้กลับไปอยู่ในสภาพที่ว่องไวและใช้งานได้เหมือนเดิม

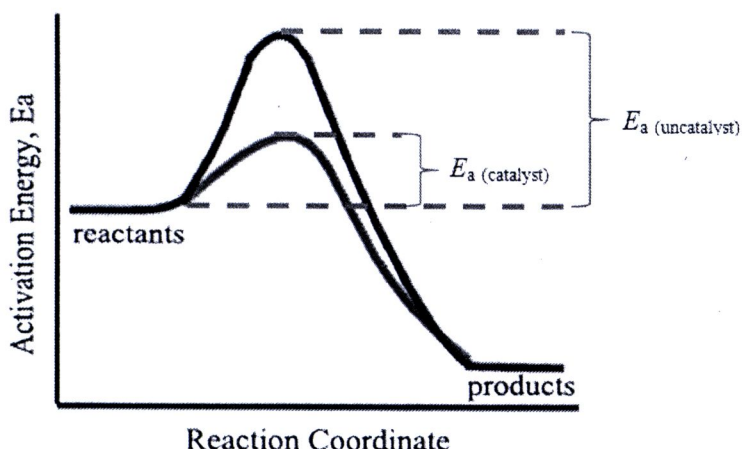
(8) ตัวยับยั้ง (inhibitor) คือสารที่ทำให้อัตราเร็วของปฏิกิริยาเกิดช้าลง ถ้าเป็นตัวยับยั้งชนิดแบ่งขั้น (competitive inhibitor) จะแบ่งขันกับสารตั้งต้นในการเกิดพันธะกับตัวเร่งปฏิกิริยา ตัวยับยั้งปฏิกิริยาที่แข็งแรงมากคือเกิดพันธะได้แข็งแรงมากทำให้สารตั้งต้นไม่สามารถเกิดพันธะกับตัวเร่งปฏิกิริยาได้ เรียกว่า เกิดพอยชัน (poison)

2.1.4 หลักการของปฏิกิริยาการเร่งด้วยแสง (Fundamental of photocatalysis reaction) [8]

กระบวนการเร่งปฏิกิริยาด้วยแสง (photocatalytic process) เป็นการเร่งปฏิกิริยาโดยใช้ตัวเร่งปฏิกิริยาด้วยแสงกล่าวคือ ใน การกระตุ้นด้วยแสง ตัวเร่งปฏิกิริยาจะทำหน้าที่ลดพลังงานในการกระตุ้นของการเกิดปฏิกิริยา รูป 2.2 แสดงการเกิดออกซิเดชัน (oxidation) ของสารอินทรีย์ที่มีและไม่มีตัวเร่งปฏิกิริยา โดยพลังงานกระตุ้น (activation energy, E_a) ของปฏิกิริยาที่ไม่มีตัวเร่งปฏิกิริยาซึ่งมีค่ามาก และพลังงานของผลิตภัณฑ์จะต่ำกว่าพลังงานของสารอินทรีย์ พลังงานกระตุ้นนี้จะลดลงในปฏิกิริยาที่มีตัวเร่งปฏิกิริยา ถึงแม้ว่าพลังงานของสารอินทรีย์และผลิตภัณฑ์ยังคงเท่าเดิม ตัวเร่งปฏิกิริยานี้จะเพิ่มอัตราเร็วของปฏิกิริยาโดยการลดพลังงานกระตุ้น อีกทั้งตัวมันเองยังตอบสนองต่อแสงดังกล่าว คือจะเกิดการกระตุ้นได้โดยการถ่ายทอดพลังงานที่มีมากกว่า พลังงานของแอนด์บอนด์ช่องว่างพลังงาน (band gap energy)

ปฏิกิริยาการเร่งด้วยแสงต้องมีองค์ประกอบ คือ

- 1) ตัวเร่งปฏิกิริยา เช่น สารกึ่งตัวนำ (semiconductor)
- 2) พลังงานแสง ซึ่งมีค่ามากกว่าหรือเท่ากับพลังงานโฟตอนของตัวแคตาลิสต์
- 3) น้ำ
- 4) ออกซิเจน หรือ ตัวออกซิเดนท์ (oxidants) อื่นๆ

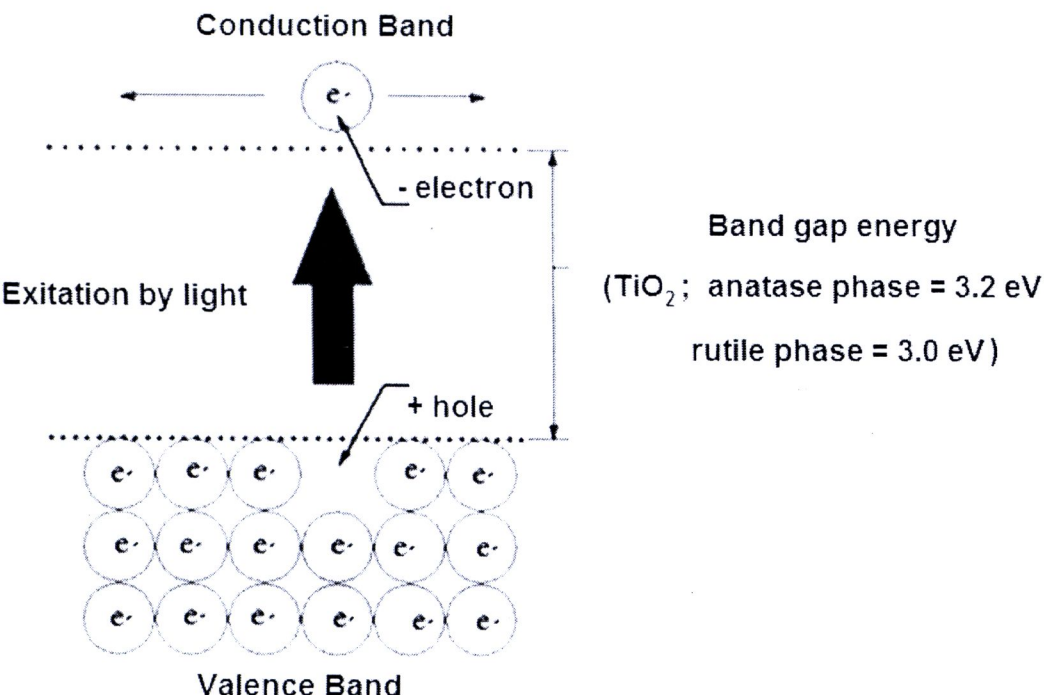


รูป 2.2 พลังงานของการเกิดออกซิเดชันของสารอินทรีย์ [8]

2.1.5 หลักการของปฏิกิริยาการเร่งด้วยแสงของสารกึ่งตัวนำไทเทเนียมไดออกไซด์

เนื่องจากไทเทเนียมไดออกไซด์มีตำแหน่งที่ว่างของออกซิเจนในโครงสร้างผลึกไทเทเนียมไดออกไซด์จึงจัดได้ว่าเป็นสารกึ่งตัวนำชนิดอีน (n-type semiconductor) ตัวเร่งปฏิกิริยาแบบใช้แสงที่เป็นสารกึ่งตัวนำนั้นมีความสามารถในการคุกคามสารตั้งต้นในการเกิดปฏิกิริยา 2 ชนิดไปพร้อมๆ กัน ซึ่งสามารถก่อให้เกิดทั้งปฏิกิริยาออกซิเดชันและรีดักชัน (oxidation and reduction reactions) โดยการกระตุ้นด้วยการคุกคามไฟฟอนที่มีพลังงานเท่ากับหรือมากกว่าพลังงานของแอนด์ของว่างพลังงาน ความสามารถของสารกึ่งตัวนำที่จะถ่ายโอนอิเล็กตรอนไปยังสารตั้งต้นในการเกิดปฏิกิริยาที่ถูกคุกคาม ไว้นั้นขึ้นอยู่กับตำแหน่งของแอนด์ของว่างพลังงานของสารกึ่งตัวนำและตำแหน่งของศักย์พลังงานในการเกิดรีดักชัน (redox) ของสารที่ถูกคุกคาม โดยปกติแล้วระดับของพลังงานที่ต่ำที่สุดของแอนด์การนำไฟฟ้า (conduction band) จะเป็นระดับของศักย์พลังงานที่ทำให้เกิดปฏิกิริยาออกซิเดชันด้วยไฮด (hole) ที่เหลืออยู่หลังจากที่อิเล็กตรอนถูกกระตุ้นไปแล้วดังรูป

2.3 [9]



รูป 2.3 กระบวนการเมื่อสารกึ่งตัวนำไทเทเนียมไดออกไซด์ถูกกระตุ้นด้วยแสง [9]



การเร่งปฏิกิริยาด้วยแสงในน้ำประกอบด้วยแสงที่ส่องผ่านน้ำไปยังตัวเร่งปฏิกิริยาซึ่งมีพลังงานโฟตอน ($h\nu$) ที่มากกว่าหรือเท่ากับพลังงานของแอนดอนว่างพลังงานของตัวเร่งปฏิกิริยาซึ่งอิเล็กตรอนจะถูกกระตุ้นจากแอนวาเลนซ์ให้เคลื่อนที่ไปยังแอนดอนนำไฟฟ้า ทำให้เกิดคู่อิเล็กตรอนและไฮดรอกไซด์ซึ่งจะร้ายอยู่ที่พิวของสารกั่งตัวนำ ดังสมการ 2.5

ปฏิกิริยาที่เกิดที่แอนวาเลนซ์ซึ่งมีไฮด์โรกไซด์ออกซิเดชัน (oxidation) โดยที่ไฮดรอกซิลจะทำปฏิกิริยากับน้ำและไฮดรอกไซด์อิโอน (OH^-) เกิดเป็นไฮดรอกซิลเรดิกออล (hydroxyl radical, OH^\cdot) สามารถเขียนเป็นสมการได้ดังสมการ 2.6–2.7 ซึ่งเป็นตัวออกซิเดนท์ที่แรงในกระบวนการเร่งปฏิกิริยาด้วยแสง สามารถย่อยสลายสารอินทรีย์ต่างๆ ได้ อีกด้วยด้านหนึ่งปฏิกิริยาที่เกิดที่แอนดอนนำไฟฟ้า คืออิเล็กตรอนจะเคลื่อนจากแอนดอนนำไฟฟ้าไปยังตัวรับอิเล็กตรอน (electron acceptor) ในสารละลายจะเกิดปฏิกิริยาเรดักชัน (reduction) ในสภาวะปกติความสามารถในการแลกเปลี่ยนประจุของอิเล็กตรอนที่แอนดอนนำไฟฟ้าไม่มีศักยภาพพอที่จะบำบัดสารอินทรีย์ได้ แต่เนื่องจากในระบบบำบัด มีออกซิเจนละลายน้ำอยู่ ออกซิเจนนี้จะเป็นตัวรับอิเล็กตรอนเกิดปฏิกิริยาเรดักชัน เกิดเป็นซุปเปอร์ออกไซด์เรดิกออล (superoxide radical, $O_2^\cdot-$) ซึ่งเป็นตัวรีดิวเซอร์ ดังสมการ 2.8–2.10 ซึ่งเป็นอนุមูลอิสระที่สามารถย่อยสลายสารประกอบอินทรีย์ได้ นอกจากนั้นแล้วเมื่อซุปเปอร์ออกไซด์เรดิกออลทำปฏิกิริยาต่อจะสามารถเกิด ไฮดรอกไซด์เรดิกออลขึ้นได้ และการรวมตัวกันใหม่ของอิเล็กตรอนและไฮดรอกไซด์เรดิกออลจะเกิดเป็นพลังงานความร้อนดังสมการ 2.11 ผลิตภัณฑ์สุดท้ายจากการย่อยสลายสารอินทรีย์คือคาร์บอนไดออกไซด์และน้ำ ดังแสดงในรูป 2.4(ก) กลไกของการเร่งปฏิกิริยาด้วยแสงสามารถเขียนเป็นสมการได้ดังนี้คือ

ปฏิกิริยาการกระตุ้นด้วยแสง



ปฏิกิริยาออกซิเดชัน

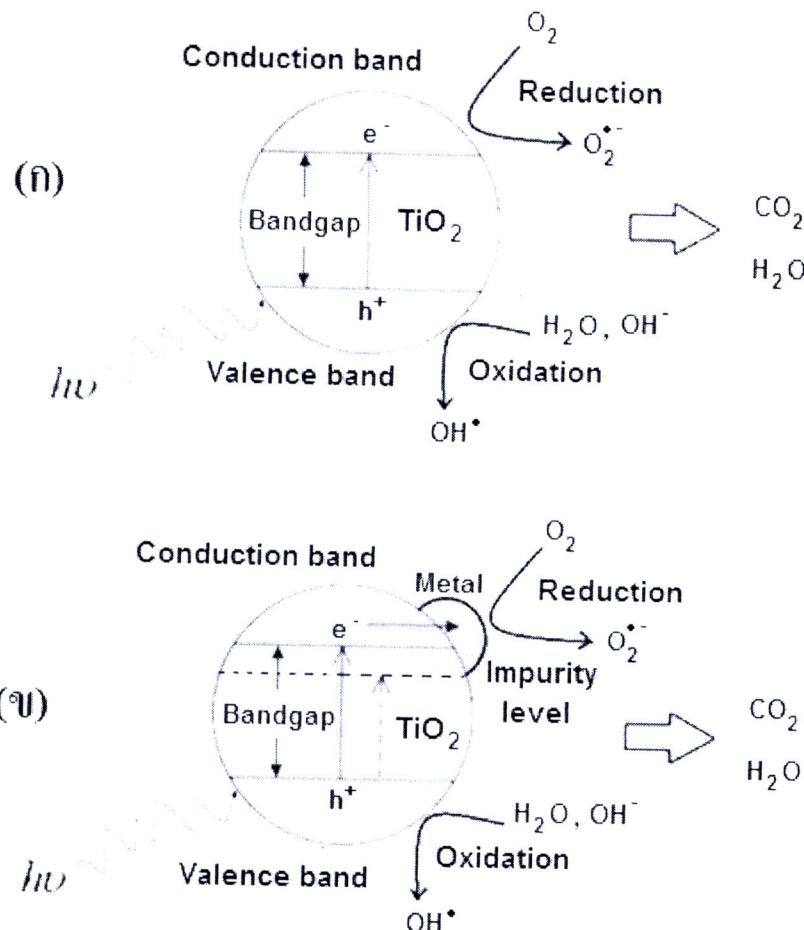


ปฏิกิริยาเรดักชัน



สำนักงานคณะกรรมการวิจัยแห่งชาติ
ห้องสมุดงานวิจัย
วันที่ 17 พฤษภาคม 2555
เลขทะเบียน 248695
เลขเรียกหนังสือ

ปฏิกิริยาการรวมตัวกันใหม่ของอิเล็กตรอนและโอล (electron-hole recombination)



รูป 2.4 (ก) กลไกของการเร่งปฏิกิริยาด้วยแสงของสารกึ่งตัวนำไทเทเนียม ไดออกไซด์ (ห) กลไกของการเร่งปฏิกิริยาด้วยแสงของสารกึ่งตัวนำไทเทเนียม ไดออกไซด์ที่เจือด้วยโลหะ [10]

ในรูป 2.4(ห) กลไกการเร่งปฏิกิริยาการด้วยแสงของสารกึ่งตัวนำไทเทเนียม ไดออกไซด์ที่เจือด้วยโลหะ โดยโลหะที่เจือนั้นจะไปเกิดติดอยู่ที่ผิวของไทเทเนียม ไดออกไซด์ และทำหน้าที่เป็นตัวดักจับอิเล็กตรอนเพื่อยับยั้งการรวมตัวกันใหม่ของอิเล็กตรอนกับโอล ซึ่งหากเกิดการรวมตัวกันใหม่ของอิเล็กตรอนและโอลจะเกิดเป็นพลังงานความร้อน ดังสมการ 2.7 จะทำให้ประสิทธิภาพในการเร่งปฏิกิริยาด้วยแสงลดลง [11] นอกจากนี้โลหะซึ่งเป็นตัวรับอิเล็กตรอนได้ดันน้ำไปสร้างชั้นของระดับพลังงานย่อยระหว่างแอนด์การนำไฟฟ้าและแอนด์วอลน์ซ อิเล็กตรอนจะเคลื่อนที่จาก

แบบว่าเดนซ์ไปยังชั้นระดับพลังงานข่ายเมื่อถูกกระตุ้นด้วยแสง ทำให้แบบช่องว่างพลังงานแคบลง ซึ่งส่งผลให้ความต้องการใช้พลังงานน้อยลงในการกระตุ้น ไฟเกเนอเรียมได้ออกใช้ค์ปกติซึ่งใช้พลังงานสูงในช่วงความยาวคลื่นของแสงญี่วีในการกระตุ้น แต่มีมีชั้นของระดับพลังงานย่อยระหว่างแอนด์การนำไฟฟ้าและแอนด์เลนซ์จะสามารถใช้พลังงานที่อยู่ในช่วงความยาวคลื่นของแสงวิสิเบลก์เพียงพอสำหรับการกระตุ้นให้อิเล็กตรอนเคลื่อนที่ได้ [12]

2.1.6 พลังงานแสง [13]

การรายแสงในกระบวนการเร่งด้วยแสงนั้น เป็นการให้พลังงานกับระบบในรูปของพลังงานโฟตอน (photon Energy) มากพอที่จะทำปฏิกิริยาขึ้นได้ ซึ่งพลังงานดังกล่าวเรียกว่าพลังงานกระตุ้น (activation Energy) สามารถคำนวณได้จากสมการ 2.12

$$E = h\nu = \frac{hc}{\lambda} \quad (2.12)$$

เมื่อ E คือ พลังงานความตัน (quantum energy) (จูล)

h คือ ค่าคงที่ของพลังค์ (Planck's contant) = 6.625×10^{-34} (จูล/วินาที)

ν คือ ความถี่ของคลื่นแสง (เอิร์ตซ์)

λ คือ ความยาวคลื่นแสง (นาโนเมตร)

c คือ ความเร็วของคลื่นแสง = 2.997×10^8 (เมตร/วินาที)

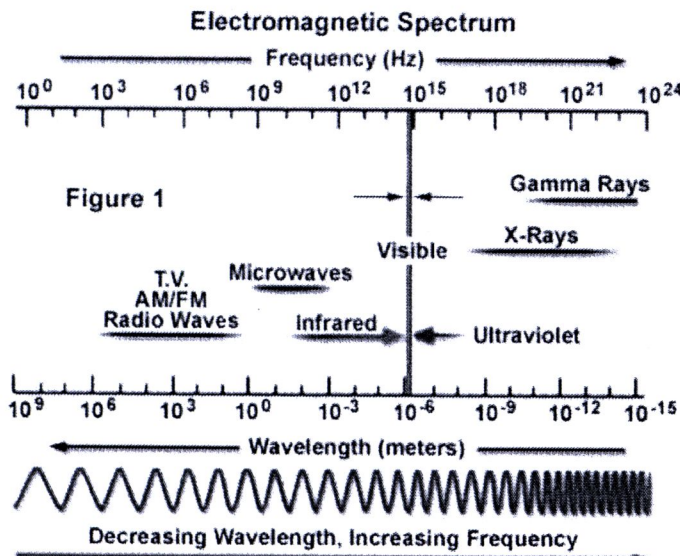
ภาพที่ 2.5 แสดงให้เห็นความสัมพันธ์ของความยาวคลื่นและพลังงาน โดยพลังงานของแสงเพิ่มขึ้นเมื่อความยาวคลื่นลดลง ภาพที่ 2.6 แสดงสเปกตรัมของรังสีญี่วี ซึ่งเป็นที่สนใจในกระบวนการโฟโตเคนตาไโลติก ความยาวคลื่นของแสงอัลตราไวโอเลต (UV) อยู่ในช่วง 100–400 นาโนเมตร สำหรับความยาวคลื่นแสงที่คนมองเห็น (visible หรือ แสงขาว) อยู่ในช่วง 380–750 นาโนเมตร รังสีญี่วีนี้ แบ่งออกได้เป็น 3 ช่วง คือ

- 1) คลื่นยาว (long wave UV, UVA) อยู่ในช่วง 400–320 นาโนเมตร
- 2) คลื่นกลาง (middle wave UV, UVB) อยู่ในช่วง 320–280 นาโนเมตร
- 3) คลื่นสั้น (short wave UV, UVC) อยู่ในช่วง 280–200 นาโนเมตร

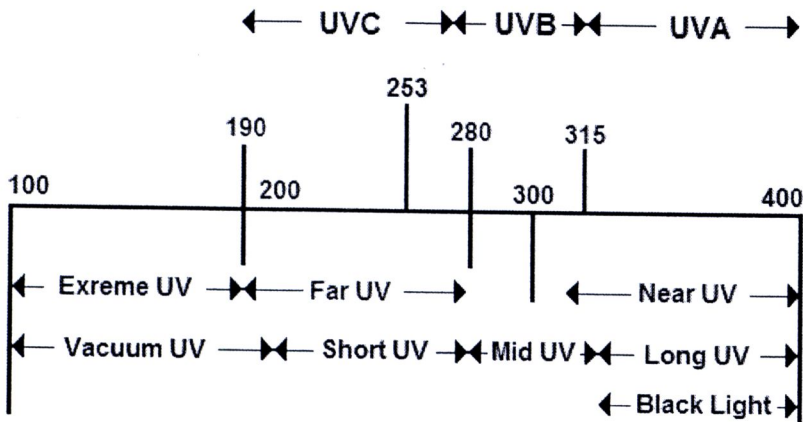
ความยาวคลื่นที่ต่ำกว่า 200 นาโนเมตร มีความสำคัญน้อยมาก เพราะรังสีอยู่ในช่วง vacuum UV ซึ่งจะถูกดูดกลืนในอากาศจนหมดในช่วงระยะทางสั้นๆ ที่แสงเดินทาง

แสงอาทิตย์มีช่วงความยาวคลื่นที่กว้างมาก ความเข้มของแสงญี่วีและแสงขาวที่ส่องลงมายังพื้นผิวโลกจะถูกทำให้ลดลงอย่างมากในชั้นบรรยากาศจากการถูกดูดกลืนและการกระเจิงของแสง

ที่ความยาวคลื่นต่ำกว่า 320 นาโนเมตร ความเข้มของแสงจะลดลงอย่างรวดเร็ว เนื่องจากการถูกคลื่นโดยโอบนในบรรยากาศชั้นสตราโตสเฟียร์ (สูงจากพื้นผิวโลกในช่วงประมาณ 10–35 ไมล์) และที่ความยาวคลื่นต่ำกว่า 288 นาโนเมตร มีรังสีที่แผ่มาถึงพื้นโลกน้อย ดังนั้นแสง UV ที่ส่องมายังพื้นโลกจึงมีขีดจำกัดในการกระบวนการโฟโตแคนตาไลติกที่ใช้สารไทเทเนียมไดออกไซด์ เป็นตัวแคนตาลิสตันนี้ เนื่องจากไทเทเนียมไดออกไซด์แยกช่องว่างพลังงาน 3.0–3.2 eV ดังนั้นการให้พลังงานกับระบบจึงต้องให้พลังงานมากกว่าหรือเท่ากับพลังงานของแคนช่องว่างพลังงานปฏิกริยาโฟโตแคนตาไลซิสจึงเกิดขึ้นได้ ซึ่งช่วงของแสง UV ที่มีความยาวคลื่นต่ำกว่า 400 นาโนเมตร จะให้ค่าพลังงานที่มากกว่าหรือเท่ากับแคนช่องว่างพลังงานของไทเทเนียมไดออกไซด์ แต่เนื่องจากแสงอาทิตย์ที่ส่องมายังพื้นผิวโลกมีช่วงแสงที่เป็น UV ในปริมาณน้อยมาก คือ เฉพาะช่วง 350–400 นาโนเมตรเท่านั้น ปัจจุบันจึงมีงานวิจัยที่มุ่งเน้นการปรับปรุงไทเทเนียมไดออกไซด์ให้มีความสามารถที่จะทำงานได้อย่างมีประสิทธิภาพที่ช่วงแสงอาทิตย์ เพื่อลดการใช้หลอดไฟ UV ในกระบวนการโฟโตแคนตาไลติก



รูป 2.5 สเปกตรัมของคลื่นแม่เหล็กไฟฟ้า [14]



รูป 2.6 องค์ประกอบหลักของรังสียูวี [15]

2.2 ข้อมูลพื้นฐานของไทเทเนียมไดออกไซด์ (Titanium dioxide, TiO₂)

2.2.1 สมบัติทางกายภาพ สมบัติเชิงกล และสมบัติทางแสงของไทเทเนียมไดออกไซด์ ดังแสดงในตาราง 2.4 และ 2.5

ตาราง 2.4 สมบัติทั่วไปทางกายภาพและเชิงกลของ TiO₂[16]

คุณสมบัติ	รายละเอียด
Molecular weight	79.9 g/mol
สถานะภาพและสี	ของแข็งสีขาว
ความหนาแน่น	4 g cm ⁻³
ความพรุน	0%
Modulus of rupture	140 MPa
กำลังแรงกด	680 MPa
Poisson's ratio	0.27
Fracture toughness	3.2 MPa.m ^{-1/2}
Shear modulus	90 GPa
Modulus of elasticity	230 GPa
Microhardness (HV0.5)	880
ค่าความต้านทาน (Resistivity, 25 C)	1012 ohm.cm

ตาราง 2.4 (ต่อ)

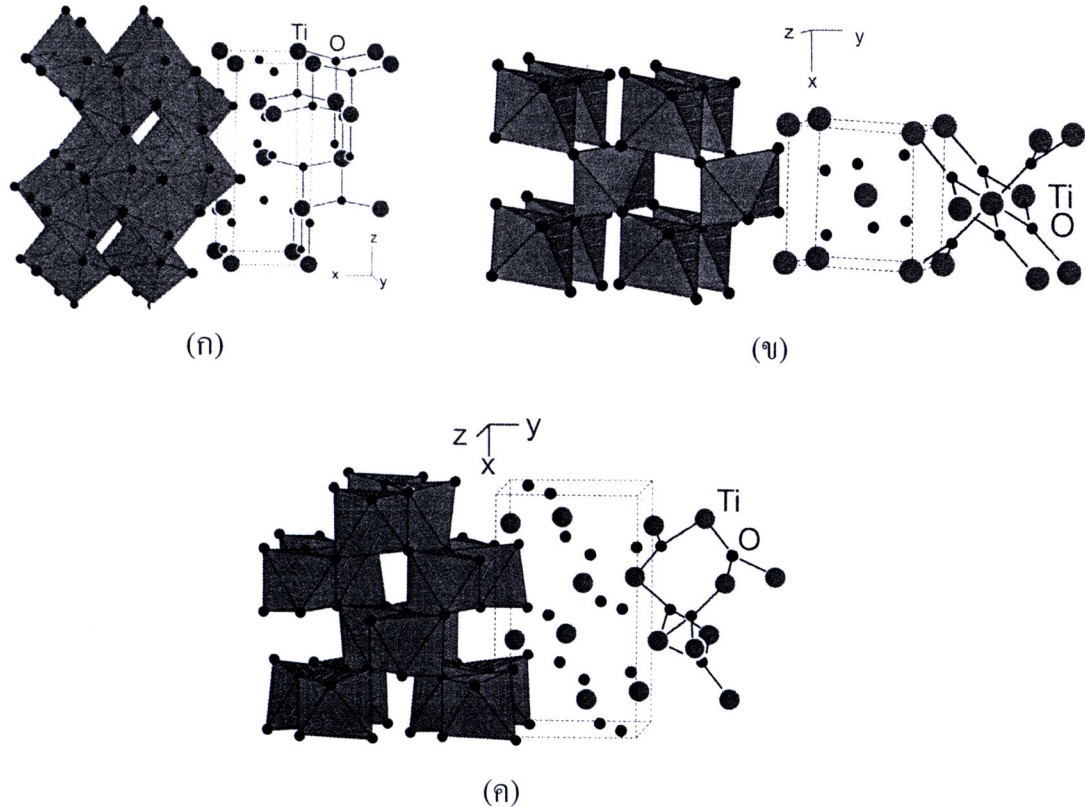
คุณสมบัติ	รายละเอียด
ค่าความต้านทาน (Resistivity, 25 C)	1012 ohm.cm
ค่าความต้านทาน (Resistivity, 700 C)	2.5×10^4 ohm.cm
Dielectric constant (1 MHz)	85
Dissipation factor (1 MHz)	5×10^{-4}
Dielectric strength	4 kVmm^{-1}
Thermal expansion (RT-1000 C)	9×10^{-6}
Thermal conductivity (25 C)	11.7 WmK^{-1}

ตาราง 2.5 คุณสมบัติทางแสงของไไทเทเนียมไดออกไซด์ [17]

Phase	Refractive index	Density (g.cm ⁻³)	Crystal structure
Anatase	2.49	3.84	Tetragonal
Rutile	1.903	4.26	Tetragonal

2.2.2 โครงสร้างผลึกของไไทเทเนียมไดออกไซด์

ไไทเทเนียมไดออกไซด์มีสูตรโมเลกุลโดยทั่วไปคือ TiO_2 มีโครงสร้างผลึกที่สำคัญอยู่ 3 โครงสร้าง กือ อะนาเทส รูไทล์ และบรูคิลท์ โครงสร้างผลึกของไไทเทเนียมไดออกไซด์สามารถแสดงได้ในรูปของ TiO_6^{2-} ที่เป็นประมิดฐานสี่เหลี่ยมสองอันประกอบกันหรืออกรูปห้าเหลี่ยม (octahedral) โดยโครงสร้างผลึกทั้ง 3 ชนิดนี้มีความแตกต่างกันเนื่องจากการบิดตัวของแต่ละอกรูปห้าเหลี่ยมที่เรียง ต่อกันและจากรูปแบบการเรียงตัวของอกรูปห้าเหลี่ยม โดยโครงสร้างผลึกนาเทสเกิดมาจากการเรียงตัวต่อกันโดยใช้ส่วนยอดของแต่ละอกรูปห้าเหลี่ยม ในการที่โครงสร้างผลึกไไทล์เกิดมาจากการเรียงตัวต่อกันโดยใช้ส่วนขอบของแต่ละอกรูปห้าเหลี่ยม และโครงสร้างผลึกบรูคิลท์เกิดมาจากการเรียงตัวต่อกันโดยใช้ทั้งส่วนยอดและส่วนขอบของแต่ละอกรูปห้าเหลี่ยม [18] ซึ่งโครงสร้างของไไทเทเนียมไดออกไซด์ทั้งสามแบบได้แสดงดังรูป 2.7



รูป 2.7 โครงสร้างของไทเทเนียมไดออกไซด์ (ก) โครงสร้างอะนาเทส (ข) โครงสร้างรูปไอล์ และ (ค) โครงสร้างบัรโคท์ [19]

2.3 วิธีการเตรียมอนุภาค nano ไทเทเนียมไดออกไซด์ [20–22]

2.3.1 วิธีการตกตะกอนร่วม (Co-precipitation method)

วิธีการตกตะกอนจะอาศัยวิธีการเปลี่ยนแปลงอุณหภูมิ หรือความดันของสารละลายน้ำเพื่อให้เกิดมีตะกอนขึ้น ซึ่งขบวนการหลักที่เกิดขึ้นในการตกตะกอนจะประกอบด้วยการเกิดนิวเคลียสและการเติบโตโดยทั่วไปแล้วถ้าระบบมีอัตราการเกิดนิวเคลียสสูง แต่มีอัตราการเติบโตช้าๆ อนุภาคของตะกอนที่ได้ออกมาจะมีขนาดเล็ก ตัวแปรสำคัญที่มีผลต่อความบริสุทธิ์และลักษณะทางกายภาพของตะกอนที่เตรียมได้ได้แก่ ความเข้มข้นของสารตั้งต้น อุณหภูมิ พิเศษ และอัตราการผสมสารละลายน้ำ เป็นต้น

วิธีการตอกตะกอนเป็นเทคนิคที่ถูกนำมาใช้ในการเตรียมอนุภาคนาโนไทด์เนื่องจากสามารถทำให้เกิดผลลัพธ์ที่มีความบริสุทธิ์สูง และยังสามารถควบคุมสัมฐานวิทยาและการแยกแยะอนุภาคได้อย่างดี แต่อย่างไรก็ตามวิธีการตอกตะกอน ดังกล่าวมีข้อเสียที่จะต้องมีการแยกตะกอนออกจากสารละลาย การทำให้แห้งและการให้ความร้อนแก่ตะกอนก่อการเกะกะเป็นกลุ่มก้อน

ในสมุดเคมีสิ่งที่ส่งผลต่อผลลัพธ์ของการตอกตะกอนมากมาย เช่น ความบริสุทธิ์ของสารธรรมชาติของการตอกตะกอน ยกตัวอย่างเช่น อุณหภูมิ ความเข้มข้นของสารตั้งต้น ค่าพีเอช และอัตราส่วนในการผสม การตอกตะกอนนี้สามารถที่จะเลือกตะกอนได้ทั้งสารอินทรีย์และสารอนินทรีย์ สารที่ตอกตะกอนได้นี้จะมีความหมายสมหรือไม่เพียงในนั้นขึ้นอยู่กับเงื่อนไข 4 ข้อ คือ

- 1) สารนั้นต้องมีการละลายต่ำทั้งนี้เพื่อให้ตอกตะกอนที่เกิดขึ้นมีความสมบูรณ์ และไม่เกิดการสูญเสียตะกอนในขณะล้างตะกอน
- 2) สารที่ตอกตะกอนได้ต้องมีความบริสุทธิ์สูง
- 3) ตะกอนที่ได้ต้องมีขนาดพอเหมาะสมเพื่อที่จะสามารถกรองได้ง่าย
- 4) สารที่ตอกตะกอนได้ต้องไม่เกิดปฏิกิริยาเคมีขณะทำให้แห้งหรือขณะเผา และสารที่เตรียมได้ต้องมีสัดส่วนประกอบที่แน่นอน

2.3.2 วิธีซอล-เจล (Sol-gel method)

ในการเตรียมสารด้วยวิธีนี้เริ่มจากการใช้สารตั้งต้นที่อยู่ในสภาพสารละลายซึ่งผสมเข้ากันได้เป็นอย่างดีและสามารถทำปฏิกิริยากันในระดับโมเลกุล ทำให้เกิดโมเลกุลที่เป็นสายโซ่ยาว หรือเกิดอนุภาคที่มีขนาดเล็กกระจายอยู่ในของเหลวที่เรียกว่า ซอล (sol) เมื่อความเข้มข้นของสารละลายเพิ่มขึ้น ความหนืดของสารละลายจะสูงขึ้นจนกระทั่งถาวรสภาพเป็นสารกึ่งแข็งกึ่งเหลวที่เรียกว่า เจล (gel) จากนั้นจึงนำเจลที่ได้ไปทำให้แห้งสนิท และอบให้เป็นผงละเอียดก่อนจะนำไปเผาเคลื่อนด้วยอุณหภูมิที่เหมาะสมต่อไป วิธีการเตรียมซอล-เจล จะทำให้ได้ผลที่มีขนาดเล็กและมีความบริสุทธิ์สูงมาก แต่อย่างไรก็ตามสารตั้งต้นที่นำมาใช้ส่วนใหญ่มีราคาสูงและวิธีการค่อนข้างยุ่งยากซับซ้อนกว่าวิธีเคมิคอล

2.3.3 วิธีไฮโดรเทอร์มอล (Hydrothermal method)

วิธีการเตรียมสารแบบไฮโดรเทอร์มอล เป็นวิธีการที่ได้รับความนิยมอย่างกว้างขวางในการเตรียมสารต่างๆ เนื่องจากผงที่เตรียมได้มีความสม่ำเสมอทั้งองค์ประกอบทางเคมีและขนาดอนุภาค การเตรียมด้วยวิธีนี้สามารถกระทำได้เพียงขั้นตอนเดียวที่อุณหภูมิและความดันสูงปาน

กลางอยู่ในช่วงประมาณถึง 20 เมกะปascal โดยไม่ต้องผ่านขั้นตอนการแคลไชน์ และมีอุณหภูมิการซินเตอร์ต้า เมื่อเทียบกับผงที่เตรียมได้จากการรีบบันทางเคมีอื่นๆ เพราะขนาดอนุภาคของผงที่เตรียมได้มีขนาดเล็กกว่า แต่วิธีการเตรียมแบบนี้จะต้องมีการควบคุมค่าพีเอช อุณหภูมิและความเข้มข้นของสารที่เข้าไปทำปฏิกิริยากันในหม้อนึ่งอัดไอล (autoclave) ที่ทำด้วยเหล็กกล้าที่มีความแข็งแรง ทนทาน และสามารถทนต่ออุณหภูมิได้สูงตามต้องการ

2.3.4 วิธีการระเหยแห้ง (evaporation to dryness)

วิธีการระเหยสารให้แห้ง จะอาศัยวิธีการระเหยสารที่เป็นตัวทำละลาย หรือสารที่ไม่ต้องการในสารละลายออกไป จนกระทั่งเหลืออยู่แต่ตัวกอนของสารที่ต้องการ ซึ่งวิธีการนี้จะเริ่มต้นจากการนำเอาสารละลายของโลหะด่างๆที่ต้องการมาผสมกัน โดยเชื่อว่าส่วนผสมเหล่านี้น่าจะเกิดการผสมกันในระดับโมเลกุล เพราะสารทั้งหมดคงอยู่ในเฟสเดียวกัน เมื่อให้ความร้อนแก่สารละลายผสมจนถึงอุณหภูมิที่พอเหมาะสมช่วงหนึ่ง ตัวทำละลายหรือสารที่ไม่ต้องการจะถูกกำจัดออกไป เหลือไว้แต่เพียงตัวกอนของสารที่ยังคงมีส่วนผสมในระดับโมเลกุลเหมือนเดิม วิธีการนี้จึงน่าทึ่งให้ผลที่ดีกว่าผลที่เตรียมด้วยวิธีมิกซ์ออกไซด์

2.3.5 วิธีการปฏิกิริยาสถานะของแข็ง (solid-state reaction)

วิธีการนี้เป็นวิธีที่นิยมใช้กันมากที่สุด เนื่องจากเตรียมได้ง่าย โดยเริ่มจากการนำสารตั้งต้นที่อยู่ในสถานะของแข็งตามปริมาณที่ต้องการมาคัดลอกเคลือบเป็นเนื้อเดียวกัน ซึ่งอาจใช้เครื่องเขย่าหรือเครื่องบด างนั้นนำไปอบให้แห้ง แล้วเผาที่อุณหภูมิและเวลาตามที่ต้องการ แต่วิธีการนี้มีข้อเสียคือ ผลผลิตที่ได้มักมีความบริสุทธิ์ต่ำ ได้สารเนื้อหายน ไม่เป็นเนื้อเดียวกัน และอาจมีสารประกอบรูปอื่นๆ เสื่อปนจากสารตั้งต้นหรือจากชุดอุปกรณ์ที่ทำการบด เช่น อะลูมินา เป็นต้น สิ่งเสื่อปนเหล่านี้จะมีผลกระทบต่อสมบัติต่างๆ ของสารที่ต้องการเตรียม โดยเฉพาะสมบัติทางไฟฟ้า

การเตรียมผงจากปฏิกิริยาสถานะของแข็งมีค่าใช้จ่ายค่อนข้างน้อย แต่ผงที่สังเคราะห์ได้มักมีปัญหารื่องการเกาะกลุ่มกันเป็นก้อนโต ทำให้ต้องมีการบดย่อยลดขนาดอยู่เสมอ ถ้าการลดขนาดนั้นใช้ลูกบด ก็ยิ่งทำให้ผงที่ได้ลูกปนเปื้อนมากขึ้น นอกจากนั้นการบดย่อยลดขนาดที่จำเป็นต้องนำมาใช้ก็ทำให้ไม่สามารถควบคุมรูปร่างของอนุภาคที่เตรียมได้อีกด้วย

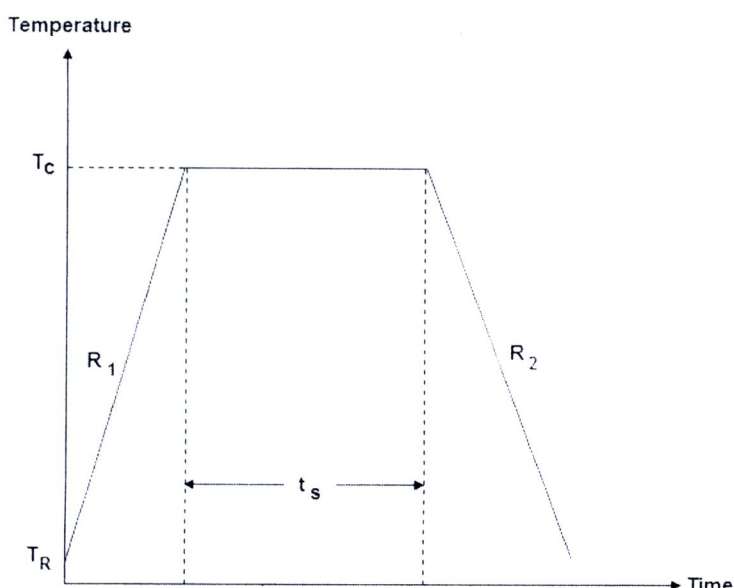


2.4 กรรมวิชีทางความร้อน (Heat treatment) [22]

กระบวนการทางความร้อน (heat treatment) เป็นกระบวนการให้ความร้อนแก่สารในการเตรียมสารที่ต้องการทั้งในรูปผงละเอียดและเซรามิก สามารถแบ่งกระบวนการให้ความร้อนเป็น 2 กระบวนการใหญ่ๆ คือ

2.4.1 การเผาแคลไชน์ (calcination)

เป็นการเผาที่ต้องการให้สารเกิดเฟสหลักที่เราต้องการ โดยที่มีการเกาะขึ้นตัวกันของอนุภาคห้องๆ และเพื่อไล่ออกค์ประกอบของสารตั้งต้นที่ไม่ต้องการออกไป ดังแสดงในรูป 2.8



รูป 2.8 ความสัมพันธ์ระหว่างอุณหภูมิและเวลาของการเผาแคลไชน์

จากรูป 2.8 แสดงความสัมพันธ์ระหว่างอุณหภูมิและเวลาของการเผาแคลไชน์

เมื่อ T_R คือ อุณหภูมิห้อง (ประมาณ 25–30 °C)

T_C คือ อุณหภูมิในการแคลไชน์ (°C)

t_s คือ อุณหภูมิคงที่เป็นเวลา (min or h)

R_1 คือ อัตราการเพิ่มอุณหภูมิ (°C/min)

R_2 คือ อัตราการเพิ่มอุณหภูมิ (°C/min)

2.4.2 การเผาซินเตอร์ (Sintering)

เป็นกระบวนการเผาสารที่ผ่านการขึ้นรูปแล้วด้วยอุณหภูมิที่เหมาะสม ทำให้สารเกิดการแข็งตัวและคงรูปอยู่ได้โดยไม่หลอมเหลวหรือที่เรียกว่า เซรามิก ดังนั้นอุณหภูมิซินเตอร์จึงน้อยกว่า จุดหลอมเหลวของสาร

2.5 หลักการและทฤษฎีสำหรับเทคนิคต่างๆ ที่ใช้วิเคราะห์หาลักษณะเฉพาะทางกายภาพ

2.5.1 การวิเคราะห์ด้วยเทคนิคการเลี้ยวเบนรังสีเอกซ์ (X-ray diffractometer : XRD) [23]

X-ray diffractometer เป็นเครื่องมือที่ใช้ในการตรวจพิสูจน์เอกลักษณ์ที่ไม่ทำลายสารตัวอย่าง (non-destructive method) โดยใช้หลักการเลี้ยวเบนของรังสีเอกซ์ที่ตกกระทบหน้าแผ่นกีกของสารตัวอย่างที่มุ่งค่างจากัน ผลการวิเคราะห์ที่ได้จะถูกนำมาใช้วิเคราะห์เบรย์นเทียนกับฐานข้อมูลมาตรฐาน เพื่อระบุวัสดุภาคองค์ประกอบของสารตัวอย่าง

หลักการและวิธีการวิเคราะห์

วัสดุที่เป็นผลึกคือวัสดุที่มีการจัดเรียงตัวของอะตอมภายในโครงสร้างอย่างเป็นระเบียบซึ่งการจัดเรียงตัวของอะตอมภายในผลึกจะมีลักษณะเป็นระนาบเส้นตรงนานกัน ซึ่งแต่ละระนาบจะอยู่ห่างกันเป็นระยะ d ซึ่งค่าระยะ d จะมีค่าแตกต่างกันไปตามธรรมชาติของผลึก

การทดสอบสาร โดยใช้เทคนิคการเลี้ยวเบนรังสีเอกซ์มีหลักการสำคัญที่อันตราริยะระหว่างสารกับรังสีเอกซ์ที่ตกกระทบ เมื่อรังสีเอกซ์แผ่ผ่านอะตอม มันจะเกิดอันตราริยะกับอิเล็กตรอนที่อยู่ในอะตอมและทำให้ลำรังสีเอกซ์เกิดการกระเจิงออกจากอะตอม พลังงานของรังสีเอกซ์ก่อนและหลังอันตราริยะจะลดลงกับทฤษฎีความตอนตั้มของอะตอม ซึ่งความเข้มของรังสีเอกซ์ที่กระเจิงออกจากอะตอม โดยรวมก็จะแปรผันตามลักษณะของการจัดเรียงตัวของอะตอม นั่นคือ การจัดเรียงตัวที่เป็นระเบียบมากกว่าจะทำให้เกิดการเลี้ยวเบนของรังสีเอกซ์ที่สามารถเสริมสร้างกันและให้ความเข้มสูงกว่า ซึ่งลักษณะเช่นนี้ทำให้รูปแบบการเลี้ยวเบนจากวัสดุอัมorphous (amorphous materials) กับวัสดุที่เป็นผลึก (crystalline materials) มีความแตกต่างกันโดยสิ้นเชิง

เมื่อปี ค.ศ. 1912 W.H. Bragg และ W.L. Bragg นักวิทยาศาสตร์สองพ่อถูกได้เสนอแนวคิดที่สำคัญสำหรับการเลี้ยวเบนของเอกซ์โดยผลึก แบบจำลองที่เขาเสนอคือ กำหนดให้ผลึกมีลักษณะการจัดเรียงตัวเป็นชั้น ๆ แต่ละชั้นคือระนาบของอะตอม (plane of atoms) และระนาบทล่านี้สามารถเดินทางท่องคลีนที่ตกรอบ โดยที่มุ่งผลกระทบท่องนุ่มสะท้อน ถ้าความแตกต่างระหว่างวิถีทางเดิน (path difference) ของคลีนสะท้อนที่อยู่ใกล้เคียงกันมีค่าเป็นจำนวนเท่าของความยาวคลีนที่ตกรอบ จะทำให้คลีนสะท้อนมีการรวมกันแบบเสริมสร้างและทำให้มีความเข้มสูงขึ้นเมื่อ

เปรียบเทียบกับคลื่นสะท้อนเดี่ยว ๆ จากแนวคิดนี้โดยการแสดงความสัมพันธ์ในเชิงเรขาคณิต ดังรูป 2.9 เราจะได้ความสัมพันธ์ที่เรียกว่า สมการของแบร์ก์ ซึ่งมีรูปสูตรดังนี้

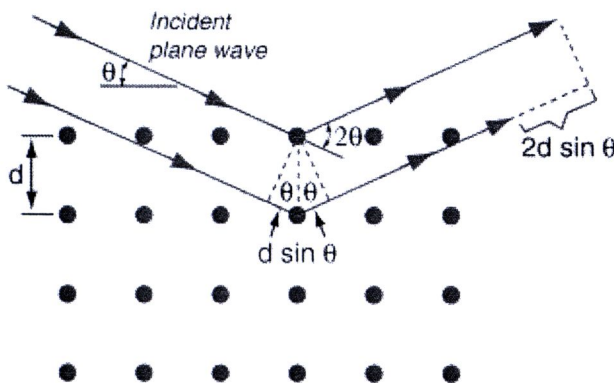
$$2d \sin \theta = n\lambda \quad (2.13)$$

สมการดังกล่าวเรียกว่า “Bragg’s Law”

โดยที่ $n = 1, 2, 3, \dots$, λ คือ ค่าความยาวคลื่นของรังสีเอกซ์

d คือ ระยะห่างระหว่างระนาบ

θ คือ มุมเลี้ยวเบนรังสีเอกซ์



รูป 2.9 การเลี้ยวเบนของรังสีเอกซ์ตามกฎของแบร์ก์ [24]

ถ้าอะตอมในผลึกมีการจัดเรียงตัวอย่างไม่เป็นระเบียบและมีระยะห่างระหว่างอะตอมเท่าๆ กัน รังสีเอกซ์ที่ผ่านเข้าไปในแต่ละชั้นของอะตอมเกิดการเลี้ยวเบนเป็นลำนานกัน การเลี้ยวเบนนี้มีลักษณะคล้ายกับการเลี้ยวเบนด้วยเกรตติงแบบสะท้อน

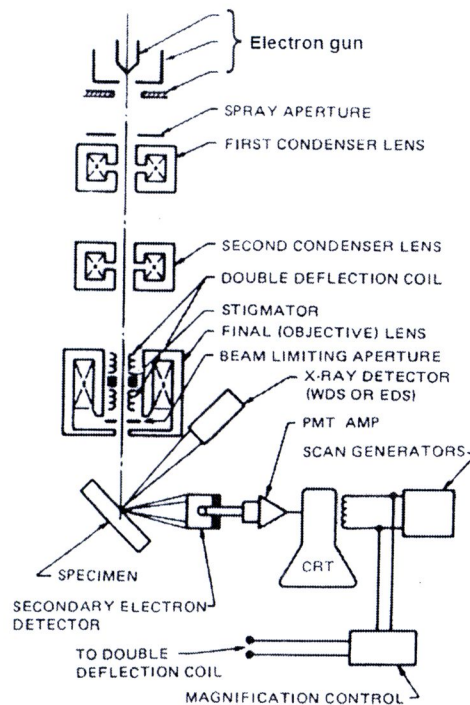
สิ่งสำคัญในการเกิดการเลี้ยวเบนของรังสีเอกซ์ขึ้นอยู่กับภาวะ 2 ประการ คือ

- 1) รังสีที่ตกกระทบ รังสีเลี้ยวเบน และเส้นตั้งฉากกับผิวน้ำจะต้องอยู่ในระนาบเดียวกัน
- 2) ระยะห่างระหว่างชั้นของอะตอมควรมีค่าความยาวคลื่นใกล้เคียงกับรังสีเอกซ์

2.5.2 การวิเคราะห์ด้วยเทคนิคกล้องจุลทรรศน์อิเล็กตรอนแบบส่องกราด (Scanning electron microscopy: SEM)

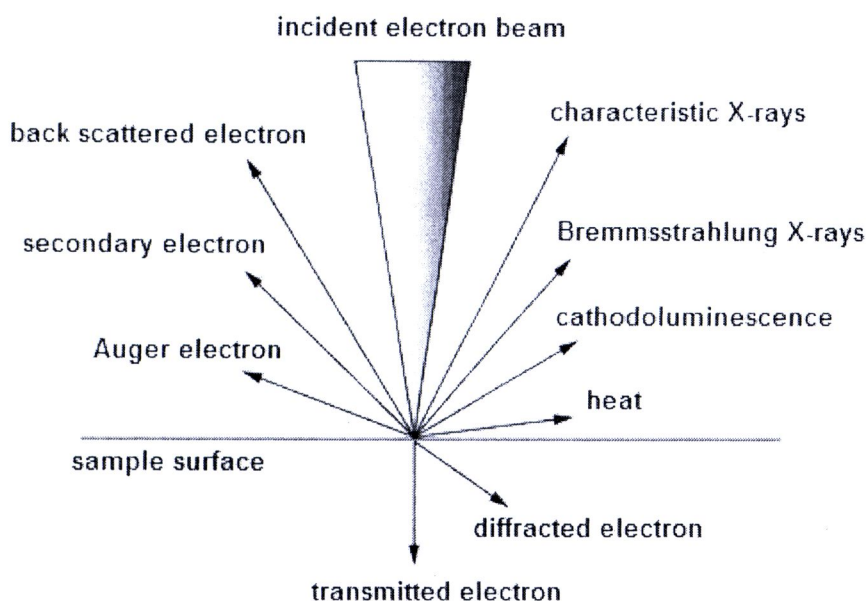
เครื่อง Scanning electron microscope (SEM) เป็นกล้องจุลทรรศน์อิเล็กตรอนที่มีกำลังขยายไม่สูงเท่ากับเครื่อง TEM (เครื่อง SEM มีกำลังขยายสูงสุดประมาณ 10 นาโนเมตร) การเตรียมตัวอย่างเพื่อที่จะดูด้วยเครื่อง SEM นี้ไม่จำเป็นต้องที่ตัวอย่างจะต้องมีขนาดบางเท่ากับเม็ดดูด้วยเครื่อง TEM ก็ได้ (เพราะไม่ได้ตรวจวัดจากการที่อิเล็กตรอนเคลื่อนที่หลบผ่านตัวอย่าง) การสร้างภาพทำได้โดยการตรวจวัดอิเล็กตรอนที่สะท้อนจากพื้นผิวน้ำของตัวอย่างที่ทำการสำรวจ ซึ่งภาพที่ได้จากเครื่อง SEM นี้จะเป็นภาพลักษณะของ 3 มิติ ดังนั้นเครื่อง SEM จึงถูกนำมาใช้ในการศึกษาสัณฐานและรายละเอียดของลักษณะพื้นผิวของตัวอย่าง เช่น ลักษณะพื้นผิวค้านอกของเนื้อเยื่อและเซลล์ หน้าตัดของโลหะและวัสดุ เป็นต้น

ข้อดีของเครื่อง SEM เมื่อเปรียบเทียบกับเครื่อง TEM คือ ภาพโครงสร้างที่เห็นจากเครื่อง SEM จะเป็นภาพลักษณะ 3 มิติ ในขณะที่ภาพจากเครื่อง TEM จะให้ภาพลักษณะ 2 มิติ อีกทั้งวิธีการใช้งานเครื่อง SEM จะมีความรวดเร็วและใช้งานง่ายกว่าเครื่อง TEMมาก



รูป 2.10 องค์ประกอบของเครื่อง SEM [25]

หลักการทำงานของเครื่อง (SEM) จะประกอบด้วยแหล่งกำเนิดอิเล็กตรอนซึ่งทำหน้าที่ผลิต อิเล็กตรอนเพื่อป้อนให้กับระบบ โดยกลุ่มอิเล็กตรอนที่ได้จากแหล่งกำเนิดจะถูกเร่งด้วย สนามไฟฟ้า จากนั้นกลุ่มอิเล็กตรอนจะผ่านเลนส์รวมรังสี (condenser lens) เพื่อทำให้กลุ่ม อิเล็กตรอนกลาญเป็นลำอิเล็กตรอน ซึ่งสามารถปรับให้ขนาดของลำอิเล็กตรอนใหญ่หรือเล็กได้ตาม ต้องการ หากต้องการภาพที่มีความคมชัดจะปรับให้ลำอิเล็กตรอนมีขนาดเล็ก หลังจากนั้นลำ อิเล็กตรอนจะถูกปรับระยะไฟฟ้าโดยเลนส์ไอลัตตุ (objective lens) ลงไปบนผิวชิ้นงานที่ต้องการ ศึกษา หลังจากลำอิเล็กตรอนถูกกราดลงบนชิ้นงานจะทำให้เกิดอิเล็กตรอนทุติยภูมิ (secondary electron) ขึ้น ซึ่งสัญญาณจากอิเล็กตรอนทุติยภูมนี้จะถูกบันทึก และแปลงไปเป็นสัญญาณทาง อิเล็กทรอนิกส์และถูกนำมาสร้างเป็นภาพบนจอโทรทัศน์ต่อไป และสามารถบันทึกภาพจาก หน้าจอโทรทัศน์ได้เลย

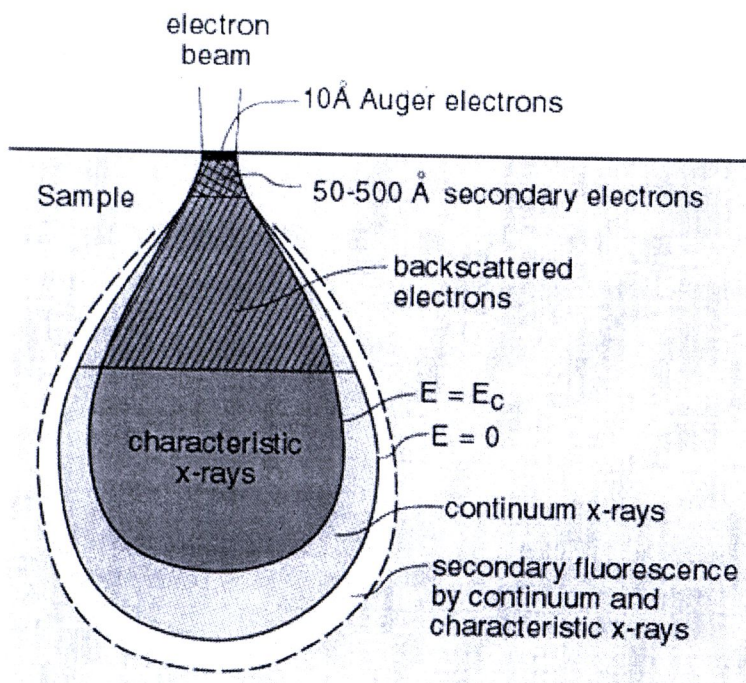


รูป 2.11 สัญญาณที่เกิดจากอันตรกิริยาระหว่างอิเล็กตรอนปัจมภูมิกับวัสดุตัวอย่าง [26]

สัญญาณที่เกิดจากอันตรกิริยาระหว่างอิเล็กตรอนปัจมภูมิกับวัสดุตัวอย่าง

1. การกระเจิงกลับ (back scattering) เกิดจากอิเล็กตรอนชนกับอะตอมต่างๆ ในตัวอย่างแล้วเกิด การกระเจิงหรือสะท้อนกลับออกมานะ เกิดได้ดีในช่วงความลึกน้อยกว่า 2 ไมโครเมตร ซึ่งการ กระเจิงจะเกิดได้ดีขึ้นเมื่อมวลของอะตอมที่ถูกชนเพิ่มขึ้น

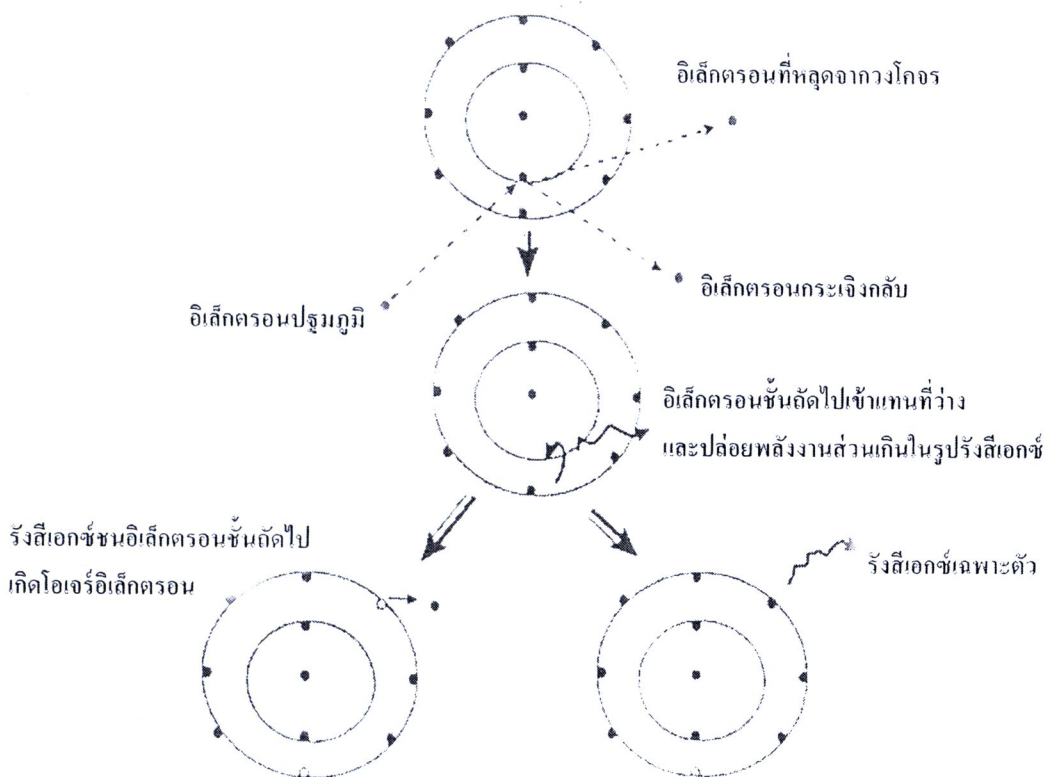
2. การเกิดอิเล็กตรอนทุคัญมิ (secondary electrons) หรือโฟโตอิเล็กตรอน (photoelectrons) เกิดจากการที่อิเล็กตรอนปัจมภูมิเข้าชนอะตอมในวัสดุแล้วทำให้อิเล็กตรอนของอะตอมดักล่าwers หลุดออกมานะ เกิดได้ในช่วงความลึกประมาณไม่เกิน 100 อังสตรอม
3. การเดี้ยบเบน (diffraction) เกิดจากการที่อิเล็กตรอนชนกับตัวอย่างแล้วเกิดการกระเจิง (scattering) และการแทรกสอด (interference) ระหว่างคลื่นอิเล็กตรอนที่กระเจิงจากรอบต่างกัน ให้ข้อมูลเชิงผลึกศาสตร์ (crystallography)
4. การส่องผ่าน (transmission) ถ้าวัสดุไม่หนามากนัก อิเล็กตรอนบางส่วนจะทะลุผ่านออกมายโดยไม่สูญเสียพลังงาน หรือสูญเสียพลังงานเพียงเล็กน้อย โดยประมาณอิเล็กตรอนที่ผ่านออกมานะชี้อกกับความหนาแน่นและความหนาของวัสดุ ถ้าเอาตัวตรวจวัดอิเล็กตรอนมา รองรับอิเล็กตรอนส่องผ่านจะได้ภาพสองมิติ หลักการนี้เป็นหลักการของทำงานของกล้อง TEM
5. การเกิดรังสีเอกซ์ (X-rays) เมื่ออิเล็กตรอนปัจมภูมิชนกับอะตอมในตัวอย่าง ทำให้อิเล็กตรอนชั้นในของอะตอมตัวอย่างหลุดออกไป อิเล็กตรอนที่อยู่ในชั้นดังไปจะลดพลังงานลงมาแทนที่ตำแหน่งที่ว่าง โดยหากายพลังงานส่วนเกินออกมายังปรังสีเอกซ์
6. การเกิดอิเล็กตรอนออเจร์ (Auger electrons) รังสีเอกซ์ที่ถูกปล่อยออกมานะเข้าชนกับอิเล็กตรอนตัวอื่นที่หลุดออกมานะ เรียกอิเล็กตรอนที่หลุดออกมามาว่า อิเล็กตรอนออเจร์ เกิดในช่วงความลึกประมาณ 1–3 อังสตรอม และจะให้ข้อมูลเชิงคุณภาพและปริมาณเกี่ยวกับองค์ประกอบของผิวน้ำ
7. การปลดปล่อยไฟตอนในช่วงพลังงานตั้งแต่ช่วงอัคตราไวโอลেตถึงอินฟราเรด อิเล็กตรอนอาจไปกระตุนการสั่นภายในโมเลกุลของตัวอย่าง ทำให้สูญเสียพลังงานบางส่วนซึ่งทำให้สามารถศึกษาสภาพโถกโถกปีของการสั่นได้
8. อิเล็กตรอนปัจมภูมิอาจถูกจับไว้ในวัสดุ เนื่องจากสูญเสียพลังงานจากการชนกับอะตอมอื่นๆ เนื่องจากอิเล็กตรอนผ่านเข้าไปในตัวอย่างลึกเกินไปและสูญเสียพลังงานจากการชนหลายๆ ครั้ง ซึ่งเป็นการชนแบบไม่มีคดหยุ่น (inelastic collision) จนกระทั่งไม่มีพลังงานคงเหลือและถูกจับไว้ในวัสดุ เกิดขึ้นในกรณีที่วัสดุมีความหนามาก



รูป 2.12 การเกิดอันตรักษิริยะระหว่างอิเล็กตรอนปั๊มน้ำมันกับตัวอย่างที่ระดับชั้นความลึกต่างๆ [27]

2.5.3 การวิเคราะห์ห้องค์ประกอบธาตุด้วยเทคนิคการกระจายพลังงานรังสีเอกซ์ (Energy dispersive spectrometry, EDS)

เมื่อลำอิเล็กตรอนพลังงานสูงเคลื่อนที่เข้าชนอิเล็กตรอนในวงโคจรชั้นในของอะตอม เช่น ชั้น K หรือ L แล้วเกิดการถ่ายโอนพลังงานให้แก่อิเล็กตรอน ทำให้อิเล็กตรอนในชั้นที่ได้รับพลังงานดังกล่าวมีพลังงานสูงขึ้นเกิน พลังงานยึดเหนี่ยว (binding energy) ของชั้นโคจรจึงหลุดออกจากรวงโคจรและทำให้เกิดที่ว่างของอิเล็กตรอนในชั้นโคจร จนกันน้ำอะตอมที่อยู่ในสภาพว่างๆ กระตุนลดระดับพลังงานลงสู่สภาวะปกติในช่วงระยะเวลาอันสั้น โดยอิเล็กตรอนของวงโคจรชั้นดังไปจะลดระดับพลังงานลงมาให้เท่ากับพลังงานยึดเหนี่ยวของวงโคจรที่เกิดที่ว่างอิเล็กตรอนด้วยการปล่อยพลังงานส่วนเกินในรูปของรังสีเอกซ์ แล้วอิเล็กตรอนจะเข้ามาแทนที่พลังงานส่วนเกินนี้มีพลังงานเท่ากับความต่างระดับพลังงานยึดเหนี่ยวเฉพาะชั้นโคจรของอิเล็กตรอน และเฉพาะของธาตุนั้นๆ จึงมีค่าพลังงานเฉพาะค่า เรียกรังสีเอกซ์ชนิดนี้ว่า “รังสีเอกซ์เฉพาะตัว” ซึ่งแสดงการกระตุนให้เกิดรังสีเอกซ์เฉพาะตัวดังรูป 2.13



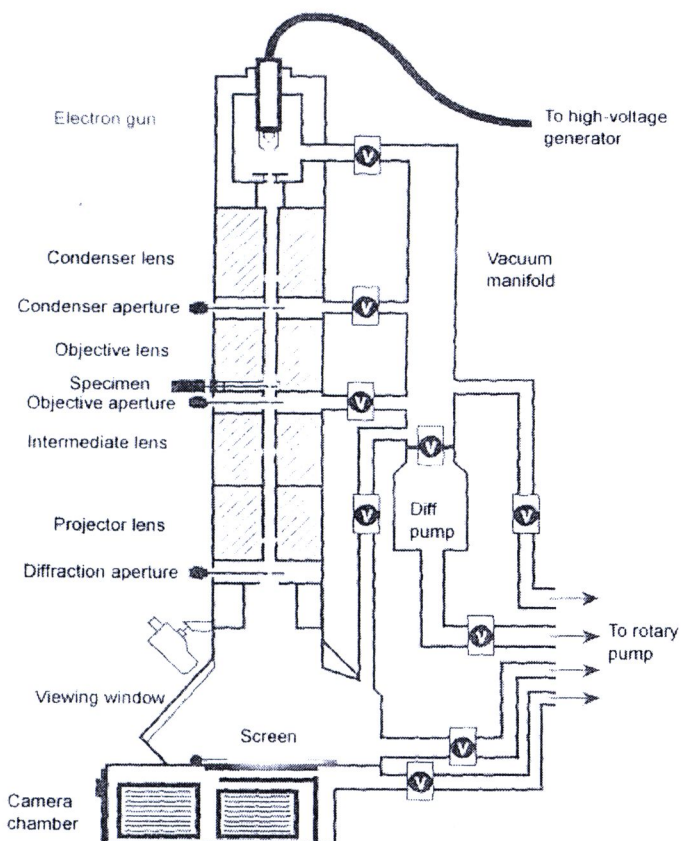
รูป 2.13 การกระตุ้นให้เกิดรังสีเอกซ์เฉพาะตัวโดยใช้ลำอิเล็กตรอน [28]

ในระบบการวิเคราะห์ชาตุคิ่วบัรังสีเอกซ์แบบ EDS หัววัดรังสีที่นิยมใช้ในปัจจุบัน คือ หัววัดรังสีแบบ Si(Li) ซึ่งเหมาะสมสำหรับการวัดรังสีเอกซ์เฉพาะตัวที่มีพลังงานในช่วง 1 ถึง 30 กิโล อิเล็กตรอนโวลต์ หรือหัวดชนิดเจอร์มาเนียมความบริสุทธิ์สูง ซึ่งสามารถวัดรังสีเฉพาะตัวได้ ช่วงกว้าง คือ 3 ถึง 200 กิโลอิเล็กตรอนโวลต์ ทั้งนี้หัววัดรังสีเอกซ์ทั้งสองแบบ จะเปลี่ยนพลังงานของรังสีให้เป็นสัญญาณไฟฟ้าในรูปของศักย์ไฟฟ้า โดยขนาดของสัญญาณไฟฟ้าที่ทางออกของหัวดจะแปรผันตรงกับพลังงานของรังสีเอกซ์ที่ตกลงบนหัวด จากนั้นจะรขยายแบบช่องเดียวหรือหลายช่องสัญญาณไฟฟ้าจากหัวดในหน่วยความจำที่อยู่ในเครื่อง และแสดงผลการวิเคราะห์บนจอภาพในรูปสเปกตรัม พร้อมทั้งผลการวิเคราะห์เชิงปริมาณและคุณภาพโดยโปรแกรมสำเร็จรูป

2.5.4 การวิเคราะห์ด้วยเทคนิคกล้องจุลทรรศน์อิเล็กตรอนแบบส่องผ่าน (Transmission electron microscopy, TEM)

รูป 2.14 แสดงส่วนประกอบของกล้อง TEM ที่อยู่ในห้องสูญญากาศ ลักษณะการทำงานของ TEM จะเหมือนกับกล้องจุลทรรศน์ธรรมชาติ เพียงแต่ใช้อิเล็กตรอนแทนแสงและเลนส์แม่เหล็กไฟฟ้า (electromagnetic lenses) หลักการทำงานเริ่มจากลำอิเล็กตรอนปัจจุบันที่มีพลังงานและความเข้มสูงผ่านเดนส์ร่วมแสง (condenser lenses) ถ่ายเป็นลำอิเล็กตรอนที่ขานกัน เข้ากระแทกกับตัวอย่าง การลดลงของความเข้มที่ผ่านออกมำจะทำให้เกิดภาพฉาย (projection) แบบสองมิติซึ่งจะถูกขยายต่อไปด้วยอพติกซ์อิเล็กตรอน (electron optics) ทำให้เกิดภาพที่เรียกว่าภาพสนามสว่าง (bright field image) ส่วนภาพสนามมืด (dark field image) นั้นจะได้จากอิเล็กตรอนที่เลี้ยวเบนซึ่งจะมีมุนต่างจากอิเล็กตรอนสำหรับ TEM และ SEM

สภาวะการทำงานของ TEM ส่วนใหญ่จะใช้ลำอิเล็กตรอนที่มีพลังงาน 100-200 KeV ความเป็นสูญญากาศ 10^{-6} bar และความละเอียด 0.5 นาโนเมตร โดยมีกำลังขยายประมาณ 3×10^5 - 10^6 เท่า

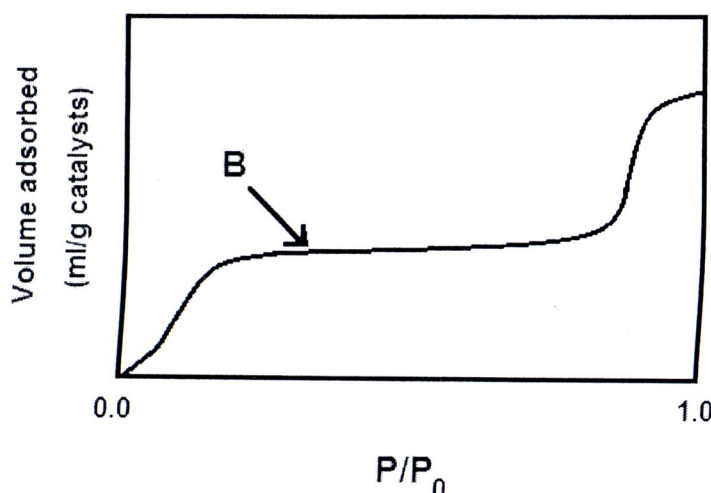


รูป 2.14 องค์ประกอบกล้องจุลทรรศน์อิเล็กตรอนแบบส่องผ่าน (TEM) [29]

ลักษณะความเปรียบต่างหือกอนแทรส (contrast) ของภาพจาก TEM เกิดจากความเข้มของอิเล็กตรอนที่ผ่านออกมานี้ โดยจะมีผลมาจากการความเข้มของอิเล็กตรอนปัจจุบัน ความหนาของตัวอย่าง รวมถึงการเลี้ยวเบนและการเกิดการแทรกสอดด้วย ตัวอย่างเช่น อนุภาคใน TEM จะแสดงค่อนแทรสที่น้อยกว่าอนุภาคที่เหมือนกันทุกประการถ้ามันอยู่ในทิศทางที่ทำให้เกิดการเลี้ยวเบน (Bragg diffraction) ได้ดี เมื่อจากอิเล็กตรอนที่เลี้ยวเบนจะไม่เกี่ยวข้องกับการทำให้เกิดภาพ การอ้างเพื่อปรับนูมของตัวอย่างจะทำให้เกิดค่อนแทรสมากขึ้น

2.5.5 การวัดพื้นที่ผิวและขนาดของรูพรุนโดยวิธีบรูนวาร์เอมเมตและเทลเลอร์ (Brunauer Emmett and Teller, BET) [7]

พื้นที่ผิว (surface area) ของสาร เป็นสมบัติทางกายภาพที่มีความสำคัญต่อการนำไปใช้ประกอบการพิจารณาเพื่อนำสารนั้นไปพัฒนาเป็นผลิตภัณฑ์ต่างๆ ที่มีคุณภาพตามต้องการหรือตามที่มาตรฐานกำหนด การวัดพื้นที่ผิวภายในวัสดุที่มีความพรุนทำได้โดยการศึกษาการดูดซับของแก๊สในไตรเจนหรือแก๊สอื่นที่มีขนาดเล็ก เช่น อาร์กอน โดยใช้ประโยชน์จากไอโซเทอร์มของการดูดซับทางกายภาพ หรือวิธี BET ที่อุณหภูมิของแก๊สเหลว (ในที่นี้เป็นอุณหภูมิของไนโตรเจนเหลวหรืออาร์กอนเหลว) ซึ่งขึ้นอยู่กับชนิดของตัวดูดซับ โดยจะหาจำนวนโมเลกุลที่ใช้เพื่อเกิดการดูดซับแบบขั้นเดียว ซึ่งจะทำให้สามารถคำนวณหาพื้นที่ผิวภายในได้ การดูดซับของ N_2 ดังรูป 2.15 จะเกิดได้เร็วในช่วงแรกโดยจะเพิ่มตามความดัน จนกระทั่งจุดเปลี่ยนแปลง (ตำแหน่ง B) ซึ่งเส้นกราฟจะราบ แสดงถึงปรากฏการณ์ที่การดูดซับบนพื้นผิวเป็นแบบขั้นเดียว จะเกิดการควบแน่นของไนโตรเจนเหลวในรูพรุนทำให้ปริมาตรการดูดซับเพิ่มขึ้นอย่างรวดเร็ว



รูป 2.15 กราฟการวัดพื้นที่ผิวโดยวิธีการดูดซับของแก๊สด้วยวิธี BET

สมการแสดงความสัมพันธ์ของปริมาตรที่ถูกดูดซับที่ความดันย่อยต่างๆ และปริมาตรที่ถูกดูดซับแล้วเกิดเป็นการดูดซับชั้นเดียวคือ สมการของ BET ซึ่งแสดงในสมการ 2.14

$$\frac{P}{V(P_o - P)} = \frac{1}{V_m C} + \frac{(C-1)P}{V_m C P_o} \quad (2.14)$$

เมื่อ P คือ ความดันย่อยของแก๊สในไตรเจน

P_o คือ ความดันไออัมตัวของแก๊สในไตรเจน ณ อุณหภูมิที่ศึกษา

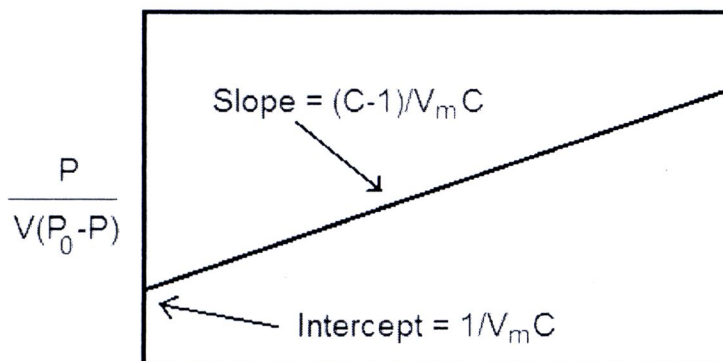
V คือ ปริมาตรที่ถูกดูดซับที่ความดัน P

V_m คือ ปริมาตรที่ถูกดูดซับที่ทำให้เกิดเป็นการปักลุมชั้นเดียว

C คือ ค่าคงที่

สมการนี้เขียนให้อยู่ในรูปของกราฟเส้นตรง $Y = a + bX$

เมื่อ ให้ $X = P / P_o$, $Y = P / V(P_o - P)$, $a = 1/V_m C$ และ $b = (C-1)/V_m C$
จากนั้นทำการเขียนกราฟที่ได้จากการคำนวณในรูปเส้นตรงของสมการ BET ดังรูป 2.16



รูป 2.16 กราฟที่ได้จากการคำนวณในรูปเส้นตรงของสมการ BET

จากสมการของ BET สามารถคำนวณหาพื้นที่ผิวจำเพาะของสารได้ โดยนำค่าปริมาตรของแก๊สในไตรเจนที่ใช้ในการคลุมผิวของสาร หรือค่า V_m ที่ได้จากสมการ 2.14 ไปคำนวณหาจำนวนโมเลกุลของแก๊สในไตรเจนที่ถูกดูดซับในสภาพ 1 ชั้น โมเลกุล แล้วจึงนำไปคำนวณหาพื้นที่ผิวจำเพาะโดยใช้สมการ 2.15 ดังนี้

$$S_{sp} = N_A \cdot a_{\max} \cdot S_o / W \quad (2.15)$$

โดยที่ S_{sp} คือพื้นที่ผิวจำเพาะของสาร (หน่วยเป็นตารางเมตรต่อกรัม)

N_A คือ เลขอะโวกาโดร (6.02×10^{23})

a_{\max} คือ จำนวนโมเลกุลของแก๊สที่ถูกดูดซับในสภาพ 1 ชั้น โมเลกุล
(เท่ากับ $V_m / 22414$)

S_o คือ พื้นที่หน้าตัดของโมเลกุลของแก๊สที่ถูกดูดซับ (16.2×10^{-20})

และ W คือ น้ำหนักของสารหรือตัวดูดซับ

2.5.6 การวิเคราะห์โดยเทคนิคฟรีร์ฟราเรค อินฟราเรดสเปกโตรสโคป [30, 31]

การดูดกลืนรังสีอินฟราเรดของสารทำให้เกิดการเปลี่ยนแปลงพลังงานในการสั่นของโมเลกุลอินฟราเรด เป็นช่วงหนึ่งของการสเปกตรัมของการแพร่รังสีแม่เหล็กไฟฟ้าซึ่งมีเลขค่าล้วน (wave number) อยู่ในช่วงประมาณ $12,800$ ถึง 10 cm^{-1} หรือช่วงความยาวคลื่นจาก 0.78 ถึง $1,000$ ไมโครเมตร ช่วงของอินฟราเรดแบ่งได้เป็น 3 ช่วงคือ

(1) ช่วงใกล้อินฟราเรด (near IR region) เป็นช่วงที่อยู่ใกล้กับช่วงวิสิเมิล พนวณแลบ การดูดกลืน (absorption band) ที่ได้ค่อนข้างต่ำ มีประโยชน์ในการวิเคราะห์สารประกอบอะโรมาติก (aromatic compounds)

(2) ช่วงกลางอินฟราเรด (middle IR region) ช่วงนี้แบ่งออกเป็น group-frequency region อยู่ระหว่าง $4,000$ – $1,300 \text{ cm}^{-1}$ ซึ่งสเปกตรัมที่ได้ในช่วงนี้ส่วนใหญ่ได้จากพวงหมู่ฟังก์ชัน (functional groups) แต่ไม่ได้โครงสร้างของโมเลกุลที่สมบูรณ์และ finger print region อยู่ระหว่าง $1,300$ – 200 cm^{-1} สเปกตรัมที่ได้ในช่วงนี้ส่วนใหญ่เกิดจากโครงสร้างของโมเลกุลที่สมบูรณ์ ดังนั้น สเปกตรัมที่ได้จะค่อนข้างยุ่งยาก การวิเคราะห์จึงต้องใช้วิธีเปรียบเทียบสเปกตรัมของสารที่ทราบ โครงสร้างแล้ว

(3) ช่วงไกลอินฟราเรด (far IR region) ช่วงนี้ไม่ค่อยได้ใช้ในการวิเคราะห์เนื่องจากสเปกตรัมช่วงนี้มักจะเกิดการสั่นของโครงสร้างหรือเกิดการหมุนของโมเลกุล ช่วงนี้อยู่ระหว่าง $2,000$ – 10 cm^{-1}

สำหรับช่วงเลขค่าล้วนที่ใช้ประโยชน์ในการวิเคราะห์นั้น เป็นช่วงกลางอินฟราเรดเป็นส่วนใหญ่ คือ $4,000$ – 400 cm^{-1} กระบวนการดูดกลืนแสงอินฟราเรด โมเลกุลของสารจะดูดกลืนแสงอินฟราเรด ได้ต้องมีลักษณะเฉพาะ และสภาพที่เหมาะสมคือ

(1) รังสีหรือแสงนั้นจะต้องมีพลังงานพอเหมาะสม ที่จะทำให้เกิดtranซิชัน

(2) ต้องเกิดการคู่ควบ (coupling) พอดีระหว่างหน้าไฟฟ้าจากการแพร่รังสี กับสารนั้นเมื่อ มีการคูคอกลีนพลังงานแล้วจะทำให้เกิดโมเมนต์ขั้วคู่ของโนเลกูลนั้นเปลี่ยนไป

ดังนั้นเมื่อใช้แสงอินฟราเรดผ่านเข้าไปในโนเลกูลของสาร ได้ก็ตาม แล้วเกิดปรากฏการณ์ ทั้งสองอย่างข้างบนนี้เรียกสารนั้นว่า IR active ถ้าไม่มีการเปลี่ยนโมเมนต์ขั้วคู่มากจะได้พิกเดน คูคอกลีนสูง ถ้าเปลี่ยนแปลงน้อยจะได้พิกเดนคูคอกลีนต่ำ

เครื่องฟูเรียร์tranสฟอร์มอินฟราเรดスペกโตรมิเตอร์ (fourier transform infrared spectrometer, FTIR) โดยทั่วไปเครื่องมือทางสเปกโตรสโคปนั้นมักใช้หลักการกระจายแสงของ สเปกตรัม การแพร่รังสีแม่เหล็กไฟฟ้าในช่วงที่สนใจ เป็นตัวกำหนดช่วง ในช่วงของอินฟราเรด จากการบันทึกผลของค่าความเข้มข้นของแสงต่อความถี่ หรือความยาวคลื่นซึ่งได้ออกมาเป็น สเปกตรัม เรียกว่า frequency-domain spectrum ดังที่เป็นกับอยู่ทั่วไป แต่ถ้าใช้วิธีการวัดที่ต่างไป โดยวัดความเข้มของแสงหรือกำลังของแสงที่ความยาวคลื่นต่างๆ กันอย่างต่อเนื่องเทียบกับเวลา เรียกว่า time-domain spectroscopy หรือโดยทั่วไปเรียก fourier transform spectroscopy ซึ่งจะให้ สเปกตรัมที่ได้จากการวัดการคูคอกลีนแสงที่ความถี่ต่างๆ พร้อมกันหมด ดังนั้นจึงสามารถช่วงให้ การวิเคราะห์รวดเร็วขึ้น การแยก (resolution) ก็ดีขึ้น หรือเป็นการทำให้ signal-to-noise ratio ดีขึ้น กว่าวิธีธรรมดा

ข้อดีของการใช้เทคนิคฟูเรียร์tranสฟอร์ม ที่เห็นได้ชัดๆ ก็คือ ช่วยให้การวิเคราะห์หรือ การวัดสเปกตรัมของสารตัวอย่างทำได้เร็วกว่าเครื่องอินฟราเรดสเปกโตร ไฟโตรมิเตอร์ธรรมดากลายเท่า เพราะว่าการวัดด้วยเครื่องธรรมดاجะเป็นแบบวัดทีละความถี่ ส่วน FT-IR วัดที่ความถี่ ต่างๆ อย่างต่อเนื่อง นอกจากนี้ยังสามารถช่วยให้การวิเคราะห์ง่ายและสะดวกขึ้นด้วยการใช้ คอมพิวเตอร์ควบคุมการทำงาน

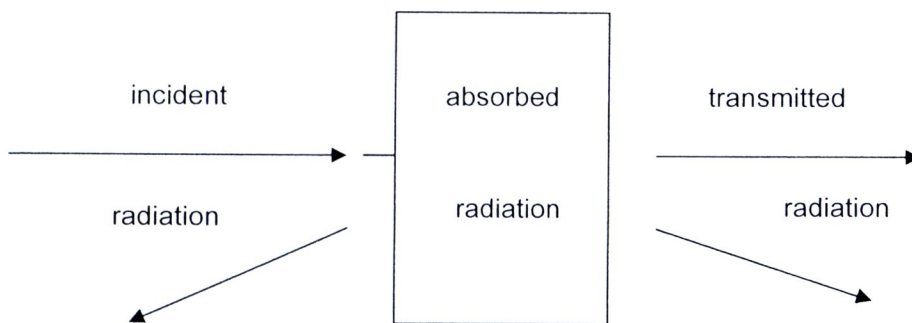
2.5.7 การวิเคราะห์โดยเทคนิคอุลตราไวโอเลตวิสิเบิลสเปกโตรโฟโตเมตรี (UV-vis diffuse reflectance spectrophotometry, UV-vis DRS) [30]

สเปกโตรสโคป (spectroscopy) เป็นศาสตร์ที่ศึกษาเกี่ยวกับการวัดการคูคอกลีน (absorption) หรือการคาย (emission) รังสีแม่เหล็กไฟฟ้า (electromagnetic radiation) ของสาร โดยเฉพาะสาร ส่วนใหญ่สามารถคูคอกลีนคลื่นในช่วงอัลตราไวโอเลต (ultraviolet UV) และช่วงแสงที่มองเห็นได้ (visible) ได้ จากสมบัตินี้จึงนำมาใช้เป็นเทคนิควิเคราะห์ที่เรียกว่า ยูวี-วิสิเบิลสเปกโตร ไฟโตเมตรี (UV-vis spectrophotometer)



การคูณคลื่นแสงหรือรังสีที่อยู่ในช่วงอัตราไฟไวโอลেตและวิสิเบิล ซึ่งอยู่ในช่วงความยาวคลื่นประมาณ 190–800 นาโนเมตร ของสารเคมี สมบัติของสารดังกล่าววนี้ได้นำมาใช้เป็นวิธีวิเคราะห์ทั้งในเชิงคุณภาพและเชิงปริมาณอย่างกว้างขวาง เพราะวิธีนี้ให้ความถูกต้องแม่นยำและมีสภาพไว (sensitivity) สูง โดยอาจทำการวิเคราะห์อยู่ในรูปของชาตุหรือโมเดลก็ได้ แต่การที่จะพิสูจน์ว่าสารตัวอย่างเป็นสารอะไร มีโครงสร้างอย่างไร จำเป็นต้องใช้เทคนิคอื่นเข้าช่วยเพื่อให้เกิดความถูกต้องแม่นยำ

เมื่อให้ลำแสงที่เคลื่อนที่อย่างต่อเนื่องกัน(continuous beam of radiation) ผ่านเข้าไปในวัตถุ ใส จะพบว่าแสงบางส่วนถูกคูณคลื่น บางส่วนเกิดการสะท้อน บางส่วนกระเจิง และบางส่วนหลุดออกไปดังรูป 2.17

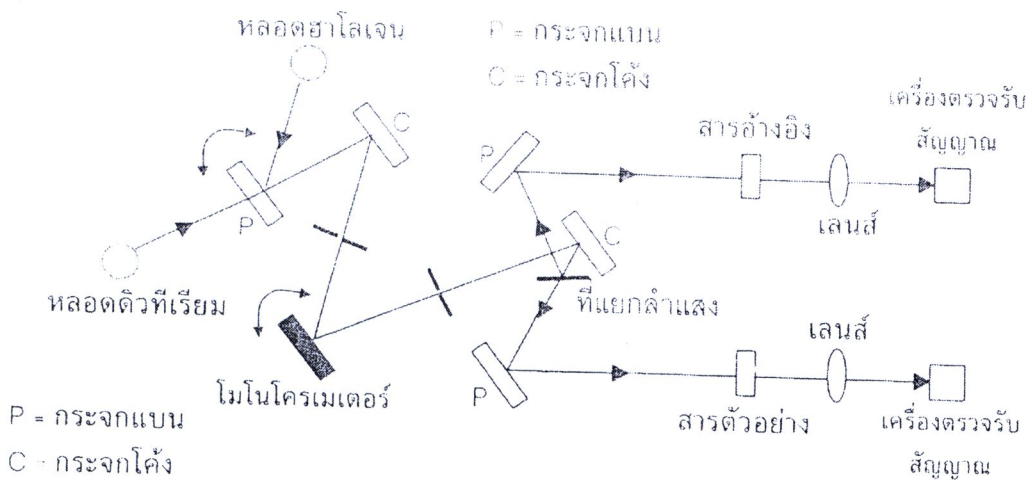


รูป 2.17 การเกิดอันตรกิริยาของสารเคมีกับการแผ่รังสีหรือแสง

ถ้าให้ลำแสงที่หลุดออกไปนั้นผ่านเข้าเครื่องกระจายแสง (เช่น ปริซึม หรือเกรตติ๊ง) จะเห็นว่าスペกตรัมหายไปบางส่วน ส่วนที่หายไปจะเรียกว่า absorption spectrum และพลังงานที่ถูกคูณคลื่นไปนั้นจะทำให้โมเดลกูลหรืออะตอมเปลี่ยนระดับของพลังงานจากสถานะพื้นไปยังสถานะกระตุ้น

สเปกโกรไฟโตมิเตอร์ (Spectrophotometer)

องค์ประกอบที่สำคัญของเครื่องสเปกโกรไฟโตมิเตอร์ที่สำคัญแสดงดังรูป 2.18



รูป 2.18 องค์ประกอบของเครื่องสเปกโกรไฟโตมิเตอร์

แหล่งกำเนิด

แหล่งกำเนิดรังสีอัลตราไวโอเลตในช่วง 160–360 nm นิยมใช้หลอดไฮดรเจนและหลอดด้วนที่เริ่มความดันต่ำและถ้าต้องการช่วงความยาวคลื่นที่คุณถึงช่วง UV-VIS ซึ่งเลยไปถึงช่วงใกล้ IR จะใช้หลอดทั้งสเกน

โนโนโครเมเตอร์

เป็นส่วนสำคัญที่ทำหน้าที่แยกองค์ประกอบแสงที่มีความยาวคลื่นต่อเนื่องให้เป็นแสงที่ความยาวคลื่นเดียว มักใช้ diffraction grating ที่มีคุณภาพ ทำงานคล้ายแท่งปริซึม แสงจะถูกส่องต่อไปที่กระจกเว้ารับแสง และแยกออกเป็น 2 ลำแสงในความเข้มเท่าๆ กัน เพื่อเข้าไปสู่ตัวอย่าง (sample) และสารอ้างอิง (reference) ก่อนเข้าสู่ตัวรับสัญญาณเพื่อวัดผลและประผลต่อไป

2.6 สรุปสารสำคัญจากเอกสารที่เกี่ยวข้อง

ในปี ค.ศ. 2005 Zhou และคณะ [32] ได้สังเคราะห์ตัวร่างปฏิกิริยาแสงไทเทเนียมโดยออกไซด์ที่มีรูพรุนขนาดเมโซ (mesoporous) ที่อยู่ในรูปของอะนาเกสเจือด้วยเหล็กโดยวิธีซอล-เจล ไทเทเนียมโดยออกไซด์เตรียมโดยผ่านกระบวนการไฮโดรলิซของ tetrabutyl titanate (TBOT) และเหล็กใช้สารตั้งต้นเป็น $\text{Fe}(\text{NO}_3)_3 \cdot 9\text{H}_2\text{O}$ จากนั้นเพาแคลไชน์ที่อุณหภูมิ 500 องศาเซลเซียส เป็นเวลา 3 ชั่วโมง ซึ่งการเจือเหล็กที่ร้อยละ 0.05, 0.25, และ 2.5 โดยอัตรา พบว่าพื้นที่พิวของตัวร่างปฏิกิริยาแสงเพิ่มขึ้นตามปริมาณการเจือของเหล็กที่เพิ่มขึ้น จากการทดสอบความสามารถในการเร่งปฏิกิริยาด้วยแสงในการย่อยสลายอะซิตอนในอากาศพบว่า การเจือเหล็กที่ 0.05–0.25 โดยอัตราจะมีพื้นที่ผิว $23.5\text{--}30.3 \text{ m}^2/\text{g}$ ตามลำดับ สามารถย่อยสลายได้ดีกว่าไทเทเนียมโดยออกไซด์บริสุทธิ์จากการสังเคราะห์และดีกว่าไทเทเนียมโดยออกไซด์ทางการค้า (Degussa P25)

ในปี ค.ศ. 2005 Lee และคณะ [33] ได้สังเคราะห์ไทเทเนียมโดยออกไซด์ที่เจือด้วยเงินด้วยวิธีซอล-เจล โดยใช้สารตั้งต้นเป็น titanium tetraisopropoxide (TTIP) และ silver nitrate (AgNO_3) และใช้ sodium citrate tribasic dehydrate ($\text{C}_6\text{H}_5\text{Na}_3 \cdot 2\text{H}_2\text{O}$) เป็นตัวเร่งดิบบ์ เพาแคลไชน์ที่อุณหภูมิ 300 องศาเซลเซียส เป็นเวลา 2 ชั่วโมง ไทเทเนียมโดยออกไซด์ที่สังเคราะห์ได้มีโครงสร้างเฟสเป็นอะนาเกสที่มีขนาดของผลึกใกล้เคียงกันที่ 5–6 นาโนเมตร การทดสอบการย่อยสลายสารประกอบอินทรีย์ด้วยหลอดป্রอท (mercury lamp) กำลัง 500 วัตต์ พบว่าตัวร่างปฏิกิริยาด้วยแสงไทเทเนียมโดยออกไซด์มีความสามารถในการย่อยสลายได้ดีขึ้นตามปริมาณการเจือเงินที่เพิ่มขึ้น และตัวร่างปฏิกิริยาที่ดีที่สุดคือไทเทเนียมโดยออกไซด์ที่เจือด้วยเหล็ก 2 มิลลิโกลด์ ซึ่งสามารถย่อยสลาย p-nitrophenol ได้ดีกว่าไทเทเนียมโดยออกไซด์บริสุทธิ์ถึงร้อยละ 60

ในปี ค.ศ. 2006 Chiou และคณะ [34] ได้ศึกษาการย่อยสลายฟีนอลในน้ำ โดยตัวเร่งปฏิกิริยาด้วยแสงไทเทเนียมโดยออกไซด์ที่เจือด้วยเพอร์ซิโอดิเมียม (Pr) ที่ร้อยละ 0.018–0.22 โดยโกลด์ เตรียมโดยวิธีซอล-เจล และเพาแคลไชน์ที่อุณหภูมิ 100–800 องศาเซลเซียส จากการตรวจสอบโครงสร้างเฟสด้วยเทคนิคการเลี้ยงบนของรังสีเอกซ์พับว่าที่อุณหภูมิ 500–600 องศาเซลเซียส จะมีโครงสร้างเป็นเฟสสมรรถะว่างอะนาเกสกับรูไกล์ แต่ที่อุณหภูมิ 800 องศาเซลเซียส จะเปลี่ยนเป็นเฟสของรูไกล์ทั้งหมด จากการทดสอบการย่อยสลายฟีนอลภายใต้แสงยูวี จากหลอดป์รอท (mercury lamp) กำลัง 400 วัตต์พบว่า ความสามารถในการย่อยสลายเพิ่มขึ้นเมื่อเพิ่มปริมาณการเจือ Pr และตัวเร่งปฏิกิริยาที่ดีที่สุดคือไทเทเนียมโดยออกไซด์ที่เจือด้วย Pr ร้อยละ 0.072 โดยโกลด์ เพาแคลไชน์ที่อุณหภูมิ 600 องศาเซลเซียส ซึ่งเป็นเฟสสมและมีพื้นที่ผิว $40 \text{ m}^2/\text{g}$ แต่เมื่อเพิ่มปริมาณของ Pr ถึง 0.22 mol% พบว่าความสามารถในการย่อยสลายฟีนอลลดลง

ในปี ค.ศ. 2006 Arpaç และคณะ [35] ได้ศึกษาการเร่งปฏิกิริยาของตัวเร่งปฏิกิริยาด้วยแสงไทเทเนียม โคอกไซด์ที่เจือด้วยดิบุก (Sn) ในอัตราส่วน mol/mol = 0.05 เปรียบเทียบกับไทเทเนียม โคอกไซด์บริสุทธิ์ในการย้อมสลายสารย้อมสี malachite green dye (MG) ภายใต้แสงยูวี และแสงวิสิเบิล ตัวเร่งปฏิกิริยาถูกเตรียมในรูปของฟิล์มบางด้วยเทคนิค spin-coating อนุภาคไทเทเนียม โคอกไซด์ได้สังเคราะห์ด้วยวิธีไฮดรโกรัมอลที่อุณหภูมิ 200 องศาเซลเซียส เป็นเวลา 1 ชั่วโมง โดยใช้ titanium (IV)-n-butoxide เป็นตัวผลิตไทเทเนียม โคอกไซด์ เมื่อวิเคราะห์โครงสร้างเฟสด้วยเทคนิคการเลี้ยวเบนของรังสีเอกซ์ (XRD) พบว่าไทเทเนียม โคอกไซด์มีเฟสเป็นอะนาเกสทั้งหมด เมื่อเจือด้วยดิบุกพบว่าอนุภาคของ ไทเทเนียม โคอกไซด์มีขนาดผลึกเล็กลงจาก 9.76 นาโนเมตรเป็น 9.24 นาโนเมตร ซึ่งเพิ่มพื้นที่ผิวด้วยตัวเร่งปฏิกิริยาให้สูงขึ้นจาก $40.84 \text{ m}^2/\text{g}$ เป็น $97.43 \text{ m}^2/\text{g}$ จากการย้อมสลาย MG ภายใต้แสงยูวีโดยใช้หลอดไฟเซ็นตอน (Xe-lamp) กำลัง 690 วัตต์ และใช้ตัวกรองความยาวคลื่นแสงให้เหลือช่วงความยาวคลื่นมากกว่า 400 นาโนเมตร เป็นตัวกำเนิดแสงวิสิเบิล ในการย้อมสลาย MG ภายใต้แสงวิสิเบิลพบว่าไทเทเนียม โคออกไซด์ที่เจือด้วยดิบุกสามารถย้อมสลายได้ร้อยละ 94 ซึ่งย้อมสลายได้ดีกว่าไทเทเนียม โคอักไซด์บริสุทธิ์ที่ย้อมสลายได้เพียงร้อยละ 73 ส่วนการย้อมสลาย MG ภายใต้แสงยูวีพบว่าประสิทธิภาพการย้อมสลายของไทเทเนียม โคอักไซด์บริสุทธิ์ลดลงเป็นร้อยละ 96 86 และ 77 ตามลำดับ เมื่อนำตัวเร่งปฏิกิริยามาใช้ซ้ำ ส่วนไทเทเนียม โคอักไซด์ที่เจือด้วยดิบุกยังคงประสิทธิภาพในการย้อมสลายที่ร้อยละ 97 98 และ 98 ตามลำดับเมื่อนำตัวเร่งปฏิกิริยามาใช้ซ้ำ

ในปี ค.ศ. 2007 Fan และคณะ [36] ได้ศึกษาสมบัติการเร่งปฏิกิริยาด้วยแสงไทเทเนียม โคอักไซด์ที่เจือด้วยโครเมียม (Cr) ร้อยละ 0.1–1 โดยโนโลต ตัวเร่งปฏิกิริยาสังเคราะห์โดยเทคนิค evaporation-induced self-assembly โดยใช้ titanium tetra chloride (TiCl_4) เป็นสารตั้งต้น นำไปเผาแคลไซน์ที่อุณหภูมิ 400 องศาเซลเซียส เป็นเวลา 3 ชั่วโมง จากการตรวจสอบโครงสร้างเฟสด้วยเทคนิคการเลี้ยวเบนของรังสีเอกซ์พบว่าตัวเร่งปฏิกิริยาทั้งหมดมีเฉพาะโครงสร้างเฟสที่เป็นแบบอะนาเกส และมีขนาดของผลึกใกล้เคียงกันที่ 9 นาโนเมตร ซึ่งไทเทเนียม โคอักไซด์ที่เจือด้วยโครเมียมร้อยละ 0.1 โดยโนโลต มีขนาดผลึกเล็กที่สุดคือ 8.8 นาโนเมตรซึ่งส่งผลให้มีพื้นที่ผิวมากที่สุดคือ $117.8 \text{ m}^2/\text{g}$ การทดสอบความสามารถในการย้อมสลายอะซิทัลเดไฮด์ (acetaldehyde, CH_3CHO) ของตัวเร่งปฏิกิริยาภายใต้แสงวิสิเบิลโดยใช้หลอดไฟเซ็นตอน (Xe arc lamp) กำลัง 300 วัตต์ที่ความยาวคลื่นมากกว่า 440 นาโนเมตร โดยการวัดการตรวจจับปริมาณของก๊าซคาร์บอนไดออกไซด์ (CO_2) ที่เกิดจากการย้อมสลายอะซิทัลเดไฮด์ พบว่าไทเทเนียม โคอักไซด์ที่เจือด้วยโครเมียมที่ร้อยละ 0.1 โดยโนโลตสามารถย้อมสลายอะซิทัลเดไฮด์ ได้ดีที่สุดที่ตรวจจับปริมาณการรับอน โคอักไซด์ได้ 19.5 ไมโครโนโลต ซึ่งดีกว่าไทเทเนียม โคอักไซด์บริสุทธิ์ และไทเทเนียม

ไดออกไซด์ทางการค้า (Degussa P25) ที่ตรวจจับปริมาณการรับอนไดออกไซด์ได้ 17 ไมโครโมล และ 1.5 ไมโครโมล ตามลำดับ

ในปี ก.ศ. 2007 Xia และคณะ [37] ได้สังเคราะห์ไทเทเนียมไดออกไซด์ที่เจือร่วมด้วยแلنทานัม (La^{3+}) และซัลเฟอร์ (S) สำหรับเป็นตัวเร่งปฏิกิริยาด้วยแสง ซึ่ง $\text{La}^{3+}/\text{S/TiO}_2$ ได้สังเคราะห์ด้วยวิธีการตกตะกอนที่อุณหภูมิห้อง โดยใช้อัตราส่วนโมล $\text{La:Ti} = 3.0\%$ ผสมกับ S/TiO_2 ที่เตรียมจากวิธีการตกตะกอน ซึ่งไทเทเนียมไดออกไซด์เตรียมจากการใช้ tetra-butyl titanate (Ti(OBu)_4) เป็นสารตั้งต้น และซัลเฟอร์เตรียมโดยจากการละลายไทโอลูบรีน 10 กรัม ในเอทานอล $\text{La}^{3+}/\text{S/TiO}_2$ ที่เตรียมได้เพาแคลลไชน์ที่อุณหภูมิ 450 องศาเซลเซียส เป็นเวลา 2 ชั่วโมง จากการตรวจสอบโครงสร้างเฟสด้วยเทคนิคการเลี้ยงเบนของรังสีเอกซ์พบว่า S/TiO_2 มีโครงสร้างเป็นอะนาเกส ส่วน $\text{La}^{3+}/\text{TiO}_2$ และ $\text{La}^{3+}/\text{S/TiO}_2$ มีการเปลี่ยนเฟสอย่างเล็กน้อยจากอะนาเกสเป็นรูไทล์ทำให้มีโครงสร้างเป็นเฟสผสม เมื่อเปรียบเทียบกับไทเทเนียมไดออกไซด์ทางการค้า (Degussa P25) พบว่าอนุภาคของ $\text{La}^{3+}/\text{S/TiO}_2$ มีขนาด 5.3 นาโนเมตรซึ่งเล็กกว่า Degussa P25 ที่มีขนาด 35.4 นาโนเมตร และจะให้พื้นที่ผิวของตัวเร่งปฏิกิริยาสูงกว่า Degussa P25 เนื่องจากการเจือร่วมทานั้นจะไปขัดขวางการโตของอนุภาคไทเทเนียมไดออกไซด์ ผลการย้อมสลาย blue 19 dye ภายใต้แสงวิสิเบิลช่วงความยาวคลื่นมากกว่า 400 นาโนเมตร พบว่า $\text{La}^{3+}/\text{S/TiO}_2$ สามารถย้อมสลาย blue 19 dye ได้มากกว่าไทเทเนียมไดออกไซด์ทางการค้า (Degussa P25) ถึง 1.8 เท่า

ในปี ก.ศ. 2008 Jiang และคณะ [38] ได้สังเคราะห์ หาลักษณะเฉพาะและความสามารถในการเร่งปฏิกิริยาด้วยแสงของไทเทเนียมไดออกไซด์ที่เจือด้วยลิเทียมฟลูออไรด์ (LiF) ในการย้อมสลายไทรคลอโรเมเทน (CHCl_3) ตัวเร่งปฏิกิริยา LiF/TiO_2 เตรียมโดยกระบวนการซอต-เจล โดยใช้ tetrabutyl titanate ($\text{Ti(OC}_4\text{H}_9)_4$) เป็นตัวผลิต ไทเทเนียมไดออกไซด์ และใช้อัตราส่วน LiF:Ti เท่ากับร้อยละ 8 โดยอะตอม แคลไชน์ที่อุณหภูมิ 400, 500, 600, 700, และ 800 องศาเซลเซียส เป็นเวลา 2 ชั่วโมง พบว่าจากการเพิ่มอุณหภูมิ 300–600 องศาเซลเซียส มีการเพิ่มขึ้นของเฟสอะนาเกส เฟสรูไทล์เริ่มเกิดขึ้นที่อุณหภูมิ 600 องศาเซลเซียส และเกิดขึ้นเป็นเฟสหักที่อุณหภูมิ 700 องศาเซลเซียส โดยที่เฟสอะนาเกสค่อยๆ ลดลงและหายไปที่อุณหภูมิ 800 องศาเซลเซียส Jiang และคณะ ได้เลือกตัวอย่างที่แคลไชน์ที่อุณหภูมิ 500 องศาเซลเซียส ที่มีโครงสร้างเป็นแบบอะนาเกสที่มีขนาดผลึกเท่ากับ 28 นาโนเมตร และ 13 นาโนเมตร สำหรับไทเทเนียมไดออกไซด์บริสุทธิ์ และไทเทเนียมไดออกไซด์ที่เจือด้วย LiF ตามลำดับ นำมาเปรียบเทียบความสามารถของตัวเร่งปฏิกิริยาในการย้อมสลาย CHCl_3 พบว่าการเจือ LiF ช่วยทำให้มีการสร้างช่องว่างของออกซิเจนจำนวนมากที่พื้นผิวของไทเทเนียมไดออกไซด์ทำให้เพิ่มความสามารถในการเร่งปฏิกิริยาสำหรับ

การย้อมสลาย CHCl_3 ในช่วงของแสงวิสิเบิลโดยใช้หลอดไฟฮาโลเจน (halogen lamp) กำลัง 175 วัตต์ที่มีความยาวคลื่นมากกว่า 430 นาโนเมตร โดยตัวเร่งปฏิกิริยา LiF/TiO_2 สามารถย้อมสลาย CHCl_3 ได้ดีกว่าไทเทเนียมไดออกไซด์บริสุทธิ์ถึง 2.5 เท่า

ในปี ค.ศ. 2008 Xia และคณะ [39] ได้ศึกษาการเร่งปฏิกิริยาด้วยแสงของไทเทเนียมไดออกไซด์ในรูปโครงสร้างผลึกแบบรู “ไอล์” ที่เจือด้วยทองแดง เตรียมโดยเทคนิค simple aqueous – phase ที่อุณหภูมิ 85 องศาเซลเซียส และเจือด้วยทองแดงในปริมาณร้อยละ 1–20 โดยจะต้องโดยสารตั้งต้นที่ใช้คือ TiCl_4 และ CuCl_2 สำหรับไทเทเนียมไดออกไซด์และทองแดงตามลำดับ จากการวิเคราะห์โครงสร้างเฟสด้วยเทคนิคการเลี้ยวเบนของรังสีเอกซ์พนว่า ทุกตัวอย่างมีโครงสร้างเป็นแบบรู “ไอล์” เท่านั้น โดยเมื่อเพิ่มปริมาณการเจือทองแดงตัวอย่างจะมีความเป็นผลึกสูงขึ้นและมีขนาดผลึกที่เล็กลง ลักษณะสัมฐานของอนุภาคซึ่งวิเคราะห์จากเทคนิคกล้องจุลทรรศน์อิเล็กตรอนแบบส่อง粒粒 พนว่าอนุภาคมีลักษณะคล้ายแท่งที่มีความยาวประมาณ 200 นาโนเมตร และมีเส้นผ่าศูนย์กลางประมาณ 60 นาโนเมตร การคุณลักษณะนี้แสดงว่าไดออกไซด์ที่ได้จากการคุณลักษณะนี้มีการคุณลักษณะที่ดีกว่าอนุภาคที่มีความยาวคลื่น 480 นาโนเมตร ส่วนตัวอย่างที่เจือด้วยทองแดงพบว่ามีการคุณลักษณะที่ดีกว่าอนุภาคที่มีความยาวคลื่น 520 นาโนเมตร แสดงให้เห็นว่าตัวอย่างทั้งหมดมีการคุณลักษณะที่ดีกว่าอนุภาคที่มีความยาวคลื่น 365 นาโนเมตร พนว่าไทเทเนียมที่เจือด้วยทองแดงร้อยละ 2 โดยจะต้องเป็นตัวเร่งปฏิกิริยาด้วยแสงที่ดีที่สุดโดยสามารถย้อมสลายสารข้อม X-3B ได้ร้อยละ 70 ภายในเวลา 3 ชั่วโมง สำหรับการเจือทองแดงในปริมาณที่มากขึ้นพบว่าความสามารถในการย้อมสลายลดลง

ในปี ค.ศ. 2008 Yoong และคณะ [40] ได้พัฒนาตัวเร่งปฏิกิริยาสำหรับการสร้างก้าชไฮโครเจนภายใต้แสงวิสิเบิล โดยได้สังเคราะห์ตัวเร่งปฏิกิริยาด้วยแสงไทเทเนียมไดออกไซด์ (TiO_2) ที่เจือด้วยทองแดง โดยวิธีการตกตะกอนเชิงช้อนและอิมเพรคเนชัน โดยเจือด้วยทองแดงร้อยละ 2 5 10 และ 15 โดบหนัก แคลไซน์ที่อุณหภูมิ 300 400 และ 500 องศาเซลเซียส เป็นเวลา 30 นาที จากการทดสอบด้วยเทคนิคจุลทรรศน์อิเล็กตรอนแบบรูปแบบฟลูออเรสเซนซ์ (high-pressure mercury lamp) กำลัง 375 วัตต์ ที่ให้ความยาวคลื่น 365 นาโนเมตร พนว่าไทเทเนียมที่เจือด้วยทองแดงร้อยละ 2 โดยจะต้องเป็นตัวเร่งปฏิกิริยาด้วยแสงที่ดีที่สุดโดยสามารถย้อมสลายสารข้อม X-3B ได้ร้อยละ 70 ภายในเวลา 3 ชั่วโมง สำหรับการเจือทองแดงในปริมาณที่มากขึ้นพบว่าความสามารถในการย้อมสลายลดลง

10 โดยน้ำหนัก แคลไซน์ที่อุณหภูมิ 300 องศาเซลเซียส ซึ่งเตรียมโดยวิธีตอกตะกอนเชิงช้อน มี แบบช่องว่างพลังงาน 2.58 eV สารมารถผลิตก้าชไไฮโดรเจนได้ 4 mL/h และจากการวิเคราะห์ด้วย เทคนิคการเลี้ยวเบนของรังสีเอกซ์ (XRD) พบร่วมกับโครงสร้างเป็นแบบเฟสสม ระหว่างอะนาเกสกับบ์รูไทล์

ในปี ค.ศ. 2008 Doong และคณะ [41] ได้ศึกษาเกี่ยวกับโครงสร้างและสมบัติการเร่ง ปฏิกิริยาด้วยแสงของอนุภาคนาโนไทด์ที่มีรูพรุนขนาดมีโซ (mesoporous) ที่เจือ ด้วยวนาเดียม (V) โดยวิธีซอล-เจล ซึ่งผ่านกระบวนการไฮโดรคลิซของ titanium (IV) tetraisopropoxide (TTIP) และใช้อัตราส่วน V/Ti เท่ากับร้อยละ 0.5–2.0 โดยน้ำหนัก และแคลไซน์ที่อุณหภูมิ 500 องศาเซลเซียส เป็นเวลา 4 ชั่วโมง เมื่อวิเคราะห์โครงสร้างเฟสด้วยเทคนิคการ เลี้ยวเบนของรังสีเอกซ์พบว่าไทด์ที่เจือวนาเดียมได้ออกไทด์และไทด์ที่เจือด้วยวนาเดียม มีโครงสร้างเป็นแบบอะนาเกส ที่มีขนาดของผลึกอยู่ในช่วง 14–16 นาโนเมตร และจากผลการ วิเคราะห์โดยเทคนิคเอกซ์เรย์โพโตอิเล็กตรอนสเปกโตรสโคปีและกล้องจุลทรรศน์อิเล็กตรอนแบบ ส่องผ่าน แสดงให้เห็นว่า วนาเดียมที่เจือเข้าไปในไทด์ได้ออกไทด์จะไปอยู่ที่ตำแหน่งผิว และแทรกอยู่ในตำแหน่งแลตทิซของไทด์ที่เจือไทด์ จากการเพิ่มอัตราส่วน V/Ti ร้อยละ 0.5–2.0 โดยน้ำหนัก ทำให้ແນບช่องว่างพลังงาน (band gap energy) ลดลงจาก 3.14 eV จนถึง 2.26 eV และที่อัตราส่วน V/Ti เท่ากับร้อยละ 2.0 โดยน้ำหนัก จากการทดสอบการย้อมสลาย methylene blue (MB) พบร่วมกับโครงสร้างของไทด์ที่เจือวนาเดียม สามารถย้อมสลาย malachite green dye (MG) ภายใต้แสงยูวีและแสงวิสิเบิล ตัวเร่งปฏิกิริยาด้วยแสงเตรียมโดยวิธีไฮโดรเทอร์มอล โดยใช้ titanium (IV) isopropoxide ($Ti(OPr)_4$) และเหล็กในเตรต ($Fe(NO_3)_3 \cdot 9H_2O$) เป็นสารตัวต้านสำหรับ ไทด์ที่เจือวนาเดียมได้ออกไทด์และเหล็ก ตามลำดับ อัตราส่วนโมลต่อโมลของ $Fe^{3+}/(Ti(OPr)_4) = 0.003$ และ 0.07 จากการวิเคราะห์โครงสร้างเฟสด้วยเทคนิคการเลี้ยวเบนของรังสีเอกซ์พบว่ามีโครงสร้าง เฟสเป็นอะนาเกส ซึ่งมีขนาดผลึกใกล้เคียงกันที่ 9 นาโนเมตร พื้นที่ผิวจำเพาะตรวจสอบด้วย เทคนิคบูรนวัสดุเอมเมทและเกลเลอร์ พบร่วมกับพื้นที่ผิวเพิ่มขึ้นตามปริมาณการเจือเหล็กที่เพิ่มขึ้นซึ่งอยู่ ในช่วง $83\text{--}126 m^2/g$ การดูดกลืนแสงตรวจสอบโดยใช้เทคนิคยูวีวิสซิฟฟิวส์รีเฟรคแทนสเปก

ในปี ค.ศ. 2009 Asiltürk และคณะ [42] ได้ศึกษาผลของตัวเร่งปฏิกิริยาด้วยแสงไทด์ที่เจือด้วยเหล็ก (Fe^{3+}) สำหรับใช้ในการย้อมสลาย malachite green dye (MG) ภายใต้แสงยูวีและแสงวิสิเบิล ตัวเร่งปฏิกิริยาด้วยแสงเตรียมโดยวิธีไฮโดรเทอร์มอล โดยใช้ titanium (IV) isopropoxide ($Ti(OPr)_4$) และเหล็กในเตรต ($Fe(NO_3)_3 \cdot 9H_2O$) เป็นสารตัวต้านสำหรับ ไทด์ที่เจือวนาเดียมได้ออกไทด์และเหล็ก ตามลำดับ อัตราส่วนโมลต่อโมลของ $Fe^{3+}/(Ti(OPr)_4) = 0.003$ และ 0.07 จากการวิเคราะห์โครงสร้างเฟสด้วยเทคนิคการเลี้ยวเบนของรังสีเอกซ์พบว่ามีโครงสร้าง เฟสเป็นอะนาเกส ซึ่งมีขนาดผลึกใกล้เคียงกันที่ 9 นาโนเมตร พื้นที่ผิวจำเพาะตรวจสอบด้วย เทคนิคบูรนวัสดุเอมเมทและเกลเลอร์ พบร่วมกับพื้นที่ผิวเพิ่มขึ้นตามปริมาณการเจือเหล็กที่เพิ่มขึ้นซึ่งอยู่ ในช่วง $83\text{--}126 m^2/g$ การดูดกลืนแสงตรวจสอบโดยใช้เทคนิคยูวีวิสซิฟฟิวส์รีเฟรคแทนสเปก

ไทรโพโตเมต์รีพบว่า ไทเทนเนียม ไดออกไซด์บิริสุทธิ์คุดคลินแสงอยู่ในช่วงแสงยูวีที่ความยาวคลื่น 387 นาโนเมตร ส่วนไทเทนเนียม ไดออกไซด์ที่เจือด้วยเหล็กคุดคลินแสงอยู่ในช่วงแสงวิสิเบิลที่ความยาวคลื่นสูงขึ้นตามปริมาณการเจือเหล็กซึ่งอยู่ในช่วง 450–600 นาโนเมตร ความสามารถในการเร่งปฏิกิริยาแสงสำหรับการย้อมสลาย MG ภายใต้แสงยูวีและแสงวิสิเบิลพบว่า ที่อัตราส่วนโมลต่อโมลของ $\text{Fe}^{3+}/(\text{Ti}(\text{OPr})_4) = 0.003$ ให้ประสิทธิภาพในการเร่งปฏิกิริยาด้วยแสงสูงสุด โดยสามารถย้อมสลาย MG ความเข้มข้น 2.5 mg/L ได้ร้อยละ 81 และ 76 สำหรับภายใต้แสงยูวีและแสงวิสิเบิล ตามลำดับ ส่วนที่ MG ความเข้มข้น 5.0 mg/L สามารถย้อมสลายได้ร้อยละ 85 และ 71 สำหรับภายใต้แสงยูวีและแสงวิสิเบิล ตามลำดับ และพบว่าในการเพิ่มอัตราส่วนโมลต่อโมลของ $\text{Fe}^{3+}/(\text{Ti}(\text{OPr})_4)$ จะทำให้ประสิทธิภาพในการย้อมสลาย MG ลดลง

ในปี ก.ศ. 2011 Wang และคณะ [43] ได้เตรียมและศึกษาประสิทธิภาพการเร่งปฏิกิริยาด้วยแสงของไทเทนเนียม ไดออกไซด์ที่สังเคราะห์ด้วยวิธีชอล-เจลและเพาแคลไชน์ที่อุณหภูมิต่ำกว่า 300 องศาเซลเซียส โดยใช้ tetrabutyl titanate เป็นสารตั้งต้น จากนั้นแคลไชน์ที่อุณหภูมิ 150–300 องศาเซลเซียส เป็นเวลา 30 นาที จากการวิเคราะห์โครงสร้างเฟสด้วยเทคนิคการเลี้ยวเบนของรังสีเอกซ์พบว่าโครงสร้างเฟสเป็นอะนาเกสทั้งหมด การวิเคราะห์ແบนช่องว่างพลังงานวิเคราะห์โดยเทคนิคยูวีวิสคิฟีวัสดุรีเฟรกแทนสเปกไทรโพโตเมต์รี พบว่าที่อุณหภูมิ 270 องศาเซลเซียสมีແบนช่องว่างพลังงานต่ำที่สุดคือ 2.79 eV เมื่อนำไทเทนเนียม ไดออกไซด์มาแคลไชน์ที่อุณหภูมิโดยขึ้นกับเวลาคือ 5 นาทีจนถึง 15 ชั่วโมง ซึ่งพบว่าไทเทนเนียม ไดออกไซด์ที่แคลไชน์ที่อุณหภูมิ 270 องศาเซลเซียส เป็นเวลา 30 นาที ให้ประสิทธิภาพสูงสุดในการย้อมสลาย methyl orange (MO) ภายใต้แสงวิสิเบิลจากหลอดชาโอลจেน (halogen lamp) กำลัง 300 วัตต์ ที่มีตัวกรองความยาวคลื่นให้เหลือเฉพาะความยาวคลื่นที่มากกว่า 400 นาโนเมตร ซึ่งสามารถย้อมสลาย MO ได้สูงสุดร้อยละ 70 เมื่อใช้เวลาแคลไชน์เพิ่มขึ้นพบว่าประสิทธิภาพในการย้อมสลายลดลง จากการวิเคราะห์พื้นที่ผิวจำเพาะด้วยเทคนิคบูร์นวัสด์เอมเมทและเทลเลอร์ พบว่ามีพื้นที่ผิวจำเพาะ $255.4 \text{ m}^2/\text{g}$ และจากการวิเคราะห์ขานค่อนข้างลดลง ซึ่งแสดงถึงการเปลี่ยนแปลงทางเคมีของโครงสร้างของไทเทนเนียม ไดออกไซด์ที่แคลไชน์ที่อุณหภูมิ 270 องศาเซลเซียส ที่มีผลต่อความสามารถในการย้อมสลาย MO อย่างมาก